

Vysoká škola: strojní a textilní
v Liberci

Fakulta: strojní

Katedra: obrábění a montáže

Školní rok: 1980/81

DIPLOMOVÝ ÚKOL

pro Vladimíra Miličeho

obor 23 - 20 - 8 Stroje a zařízení pro strojírenskou technologii

Protože jste splnil... požadavky učebního plánu, zadává Vám vedoucí katedry ve smyslu směrnic ministerstva školství o státních závěrečných zkouškách tento diplomový úkol:

Název tématu: Konstrukce měřícího přípravku pro zjištování
objemového modulu pružnosti kapalin užitých
v hydraulických mechanismech

Pokyny pro vypracování:

- 1/ Studium základních vlastností kapalin užitých v oboru hydraulických mechanismů (viskozita, měrná hmotnost, stlačitelnost)
- 2/ Seznámení se stávajícími přístroji pro měření viskozity a stlačitelnosti kapalin
- 3/ Konstrukce měřícího přípravku na měření objemového modulu pružnosti kapaliny
- 4/ Zpracování metodiky měření s navrženým přípravkem

Autorské právo se řídí směrnicemi
MŠK pro státní zkoušky výk. č. 31
ZP/301/72 ze dne 16. června 1972
1982 Viz výk. MŠK/31/82, smluv 24 ne
dne 21. 8. 1981 § 19 a učeb. č. 115/83 Sb.

10.10.87
VYSOKÁ ŠKOLA STROJNÍ A TEXTILNÍ
Ústřední knihovna
LIBEREC 1, STUDENTSKÁ 5
F-SČ 461 17

Rozsah grafických laboratorních prací: cca 8 výkresů

Rozsah průvodní zprávy: 35 - 40 stran textu

Seznam odborné literatury: Chochlov, A.V., Prokofjev, V.N.: Elektrogidravlické sledjašcie sistemy. Mašinostrojenie, Moskva 1971
Horák, Z.: Technická fyzika. SNTL, Praha 1961

Vedoucí diplomové práce: Ing. Josef Cerha

Konsultanti: Ing. Josef Cerha
Ing. Jitka Kvapilová - VŠST Liberec

Datum zahájení diplomové práce: 15.9.1980

Datum odevzdání diplomové práce: 12.6.1981

Doc. Ing. Vojtěch Dráb, CSc
Vedoucí katedry

Doc. RNDr Bohuslav Stříž, CSc
Děkan

**Výroba šňůrky strojní a textilní v Libereci
montážka šňůrky práce**

Pohyby strojní

Obrázek 23 - 20 - 08

Stranice s výkresem nové strojního stroje technologie.

zvětšení

Jednořadové obráběcí a montážní stroje

Intenzivní obrábění a montáž

**Pracovní, jednořadové, multifunkční, rychlé, pro zpracování
členitých materiálů, průmyslového, kapalného materiálu**

■ Výrobce: Výroba strojů Kralíky

Vladimír Kralík

23 - 08 - 000

Vedenec výrobního podniku: Ing. Josef Černý

VŠST Liberec

Konsultant: Ing. Jiřík Kumpořík

VŠST Liberec

Stavba stroje a počítání:

Počet staveb: 52

Počet příloh: -

Počet obrázků: 17

Počet výkresů: 20

Kralík

ME: 5310-732 / 532-12/

Datum: 11.6.1981

Prohlašuji místopředsedně, že jsem diplomovou práci vypracoval
samosťatně a použitím uvedené literatury.

V Liberci dne 11.6.1981

Vladimír Hilitý

Vladimír Hilitý

CÍLEK

Současné poznatky týkající se zásadek a symboliky.....	5
Představování	7
1. ÚVOD	9
2. VLASTNOSTI HYDRAULICKÝCH KAPALIN	13
2.1 Viscosita	18
2.2 Stlačitelnost	20
2.2.1 Stavová rovnice kapaliny	20
2.2.2 Objemový modul pružnosti	21
2.2.3 Dynamický proces deformace	27
3. KONSTRUKCE PŘÍPRAVKY	29
3.1 Podkladky na přípravku	29
3.2 Papír přípravku	30
3.3 Pevnostní kontrole	33
4. METODIKA MĚŘENÍ.....	42
4.1 Příprava k měření	42
4.2 Držky měření	45
4.2.1 Závislost K na teplotě	45
4.2.2 Závislost K na objemu nerozpustného vzduchu	46
4.2.3 Závislost K kapaliny v pracovním období na čase od opuštění stroje	47
4.3 Metody funkce spracování výsledků měření	49
5. ZÁVĚR	50
Současné poznatky literatury	52

SEZNAM POUŽITÝCH ZNAKŮ A SÍMBOLOU

Pokud není v následujícím seznamu uvedeno jinak, veličiny označené indexem α se týkají polárního /výchozího/ stavu a veličiny označené indexem β se týkají isoentropických/odrážecích/ pochodu.

symbol	význam	rozměr
A, B	empirické koeficienty	- , $N m^{-2}$
a, b	polemáry tlakové nádoby	m
c _v	náhorní tepelná kapacita při V = konst.	J kg ⁻¹ K ⁻¹
c _t	náhorní tepelná kapacita při p = konst.	J kg ⁻¹ K ⁻¹
C	hydraulická kapacita	m ⁵ s ⁻¹
D	odpor proti deformaci	N m ⁻⁵
E	modul pružnosti ve smyku	N m ⁻²
k	počer polemáře tlakové nádoby	-
K	tangentový modul objemové pružnosti	N m ⁻²
K'	ekvanterový modul objemové pružnosti	N m ⁻²
M ₀	objevový moment	N m
m	objemová koncentrace císelních přiměší výkonu	-
P	objemový průtok	N m s ⁻¹
Q	objemové průtok	m ³ s ⁻¹
S	plášťové prořízení	m ²
S _s	plášťové styky	m ²
T	pouzdravající síla	N
T	termodynamická teplota	K
t	čas	s
t	teplota	°C
V	objem	m ³
V _a	objem směsi kapalina + vzduch	m ³
V _p	objem plynné fáze	m ³
V _p '	počerný objem plynné fáze	-

W	tlaková energie	J
W_0	průměrný modul v sítíku	m^3
αC	koeficient teplotní rovnostnosti	K^{-1}
αC	teplotový koeficient	-
β_k	kontinuitní elastitelnost	$m^2 s^{-1}$
γ	poučí tepelných kapacit	-
μ	dynamická viskosité	$m^{-1} kg s^{-1}$
ν	kinematická viskosité	$m^2 s^{-1}$
ξ	počáteční deformace	-
ρ	hmota	$kg m^{-3}$
σ_a	axiální napětí	$N m^{-2}$
σ_r	radiální napětí	$N m^{-2}$
σ_t	obvodové napětí	$N m^{-2}$
σ_{ao}	axiální napětí osové	$N m^{-2}$
σ_{to}	axiální napětí obvodové	$N m^{-2}$
σ_{tm}	radiální napětí obvodové	$N m^{-2}$
τ	zářivé napětí	$N m^{-2}$
φ	kontinuitní kontinuitel	-
ω_n	rotační frekvence	s^{-1}

PŘEHLEDNA

V letošním roce došlo k významné události v životě celé naší společnosti. V dubnu proběhl XVI. sjezd KSC, který zhodnotil výsledky uplynulého období a vytyčil úkoly a cíle do budoucnosti. Mezi těmito důležitými cíli je i důležité místo požadavky na další zvyšování strojírenské výroby, protože právě strojírenská produkce je svojí povahou progresivním prvkem rozvoje společenských výrobních sil a technického pokroku ve všech odvětvích.

Předurčenost postavení strojírenského průmyslu vyplývá především z toho, že vývoz jeho výrobků musí uhradit největší část potřeb naší ekonomiky, zejména surovin a energie, vybovit techniku ostatní odvětví našeho národního hospodářství a významně přispět k obhacení vnitřního trhu.

Ko zvyšování výroby vede v současné době jedině cesta zvyšování produktivity práce, protože extenzivní metody jsou již vyčerpány a vzhledem k nedostatku pracovních sil a celosvětové energetické a surovinové krizi je nese dálé používat.

Produktivitu práce je možno zvýšit dvěma způsoby. Prvním z nich je použití nových, pionýrských metod a technologií ve výrobě. Protože je však v nejbližší době velmi nepravidelné objevení takovýchto nových metod, je nutno se zaměřit na používání výrobních strojů a výšší pracovní frekvence a zavedení automatizace jihlo na jedinci reálnou cestu.

Zvyšování pracovní frekvence u výrobních strojů je však obvykle spojené se zvýšením rychlostí a s tím souvisí zvýšení nároků na jejich dynamické vlastnosti. Dobré řešení finálních strojírenských výrobků dnes souvisí s tvořením hydrauliky. Nejdříve si představujte zvyšování technických parametrů strojů při zlepšení jejich hmotnosti bez hydraulických nebo hydrodynamických přenosů energií a stejně tak zabezpečení možností automatických

funkcí strojů a linek bez řídicích hydraulických obvodů.

V souvislosti s růstem požadavků na dynamické vlastnosti výrobních strojů se používá stále vyšší tlak pracovní kapaliny. V jejich hydraulických obvodech aležem mohli dobře poznat vlastnosti hydraulických mechanismů, musíme znát vlastnosti kapalin, které podstatnou měrou vlastnosti těchto mechanismů ovlivňují. Pro konstrukci nových strojů je tedy třeba dobré znát komplexní vlastnosti kapaliny. Chování pracovních kapalin v ohlasti vysokých tlaků ale ještě není plně přehlédnuté. To se tým zejména na viskozitu a modulu objemové pružnosti. A právě proto je návrh společné měření modulu objemové pružnosti tématem této práce.

1. Úvod

Z obecného hlediska je mechanismus systém, který umožňuje přenos parametrů energie a prostorové orientace nositele. Pod pojmem přenosový systém se rozumí všechny funkce /vysílače/ a motora /přijímače/ provedené tak, aby si členové články mohly předávat energii nebo informaci.

Dělení mechanismů podle konkrétního provedení je možné provést několika způsoby. Při dělení mechanismů podle druhu nositele energie /nositel energie je souhrn hmotných částic, libovolného tvaru, velikosti a sifonovatví, které jsou schopny přenášet přesně definované množství energie/ se uvažuje nositel, využity v přenosovém kanálu spojujícím generátor a motorem, a podle něho rozlišujeme tyto druhy mechanismů:

- elektrické mech.
- tekutinové mech.
- tuhé /pevné/ mech.

Přitom do skupiny elektrických mechanismů patří také mechanismy elektromechanické a mechanismy využívající elektromagnetické vlny/včetně mech. optických/.

Tekutinové mechanismy se dělí na plynové /pneumatické/ a kapalinové /hydrostatické/. V současné době se pro tekutinové mechanismy nejvíce používají názvy fluidika, zejména u systémů pro přenos informací.

Do skupiny tuhých mechanismů patří všechny přenosové systémy, využívající materiál v pevné formě.

Přenos energie a jeho řízení je základní operaci, která umožňuje nejen realizaci technologických procesů, ale vlivem tohoto vývoje a rozvoje dynamických soustav. V podstatě jde o dopravu energie v potřebném množství a po zadání určitého prostoru na určité místo. Pro hodnocení přenosu se používají veličiny: přenos energie

/účinnost/, hustota energie/plošná a objemová/, proudu energie, přenos výkonu atd./viz [3]/.

Spejovací kusil je ta část přenosového systému, ve které se počítá s možností možné vysílání a přijímání. Spejovací kusil může být tvořen:

- prostorově rozsáhlým polem
- prostorově koncentrátně rozsáhlým polem
- prostorově malou omezenou polom

K nevhodném prvních dvou způsobů patří malá plošná a objemová hustota přenášené energie, využití malého množství přenášené energie a obtížného nízkého parametru přenášené energie. Velkou výhodou je však to, že není třeba zvláštěho spojení generátoru a přijímače/a tím také odpadá opatření a údržba mechanického spojení/, energii lze zachytit v libovolném místě pole a energii může zachycovat velký počet přijímačů současně.

Třetí způsob, to je malá omezená pole, se používá při přenosu energie s známou plošnou hustotou a na velké vzdálenosti. Prvky, tvořící omezení přeslalující části pole, se nazývají vodiče. Nevhodnou tvaru tohoto způsobu je to, že přímé spojení vysílate a přijímače je dražší a vyžaduje dálku.

Při návrhu dynamických soustav je často nutné řešit problém, jak porovnat z energetického hlediska jednotlivé dravy nositele. Jedině takové srovnání může poskytnout objektivní poklad na možnosti různého druhu nositele. Z obecné teorie přenosu energie lze dojít k následkům:

1. Když je množství množství nositele potřebné k přenosu jednotlivého proudu menší, tím je možné dosáhnout kratších časových intervalů a menších rozdílů generátorů a motorů
2. malé množství nositele je nevhodné, jestliže se počítá s při přenosu proudu dálkovými vodiči.

Odtud vyplývá, že využití nositels elektrické energie je vhodné tam, kde jde o splnění podmínek spadajících pod bod 1. Tzn., kde jde o přenos dálkování nositele, je třejmě velmi výhodné použít plyny jako nositele. Kapaliny a také látky jsou na přenosu nositeli občas uvedenými nositeli. Jejich přenosové systémy však nahrazují řada dalších vlastností, které jim zajišťují široké uplatnění.

Hydraulické mechanismy jsou velmi vhodné pro přenos energie. I když hydraulické potoky mají některé provozní parametry méně výhodné, než potoky mechanické/např. stupeň provozní hlučnosti, nákladovost, jednoduchost obsluhy apod./, přesto jenom se stále více používají v různých průmyslových oborech. Základní předností hydraulického pohoru je možnost snadného uvádění do chodu, nastavení, reverzace, zabezpečení proti výbuchu/etž umožňuje jeho široké použití v takových průmyslových odvětvích, jako je hornictví, textilní průmysl, chemie apod./, kompaktnost, vysoké technické parametry při stálých pracovních režimech, normální chod v počítačích snadné zmediálního prostředí. Poslední výhody v oblasti navrhování a konstrukce hydraulického pohoru umožňují podstatně snížit průmyslový hluč, daik pracovní kapaliny téměř můžou snížit na minimum a zabezpečit vhodný teplotní režim práce.

Tyto okolnosti podporují vysoké tempo rozvoje hydraulického pohoru a rozšířují oblasti jeho použití. V současné době se hydraulické zařízení v nejdůležitěji používají v těchto oborech:

- stroje stavební a pro zemní práce
- zdvihací a transportní stroje
- automobily
- traktory a zemědělské stroje
- hornické stroje a zařízení
- metalurgické zařízení
- obráběcí stroje

- stroje na plastické hmoty a prýže
- tráilecí stroje.

Podle výhledů vývoje hydraulických zařízení na období do r. 1990 je patrná všeobecná tendence k zvýšování užívaných pracovních tlaků. Obory stavebních zdržacích strojů jsou velmi přibuzné, a to jak z hlediska používaných tlaků a objemů pracovní kapaliny, tak i z hlediska klimatických podmínek, ve kterých se tyto stroje používají. Pracovní tlaky u nich dosahují hodnot až 32 MPa/případem. Špíčkové firmy používají tento tlak běžně. Obor stavebních strojů je opět s automobilem přímým jedním z vedoucích spotřebiteli hydraulického zařízení.

U automobileů se ze současného stavu 10–16 MPa předpokládá vstup tlaku na 25–32 MPa/u hydromechanických převodovek až na 40 MPa/.

Dosud užívané tlaky 10–20 MPa v hornictví se zvýší do r. 1990 na hodnoty 20–35 MPa. Podmínky práce těchto strojů, které pracují pod zemí, vyžadují zlepšení ochrany záložného zařízení při světlém výkonnosti, pro což bude nutno upřídit hydr. systému s tlakem 40 MPa.

U metalurgických zařízení se očekává posílení tlaků do 32 MPa a kromě toho s ohledem na bezpečnost práce světlého užívání mechanických pracovních kapalin.

U větších chemických strojů se pracovní tlaky zvýší s 2,5–10 MPa na 6,3–16 MPa, u protahovaček a frézek z 6,3–16 MPa na 16–25 MPa.

U strojů na plast. hmoty a prýže současný stav pracovních tlaků v rozmezí 6,3–32 MPa a u tráilecích strojů v rozmezí 20–80 MPa zůstane zachován, zatímco se však prudké zvýšení podílu výroby tlaků strojů s vysokou pracovní tlakem.

V poslední době se posilují hydraulické systémy i u strojů, kde dříve převládal pouze elektromechanický pohon/např. u diskových nářek, rotačních protahovaček strojů/ a rozšiřuje se užití

nehořlavých pracovních kapalin.

Snaha o zvýšení tlaku v hydraulických mechanismech je vyvolána tím, že přenos energie nebo výkonu se v nich uskutečňuje využitím mědičnosti geometrického objemu V , s ujmímaným nositelem energie - kapalinou - a proudem Q nositelem energie a tlaku p . Přeměně tlaková energie je dána vztahem

$$W = V \cdot p$$

nebo vyjádřeno pomocí hydraulického výkonu

$$P = \frac{W}{t} = \frac{V}{t} p = Q \cdot p$$

Velikost přeměně energie je tedy dána hodnotami Q a p , přičemž průtok výkonu může být zajistěn buď vysokým průtokem malým tlakem, nebo vysokým tlakem s malým průtokem.

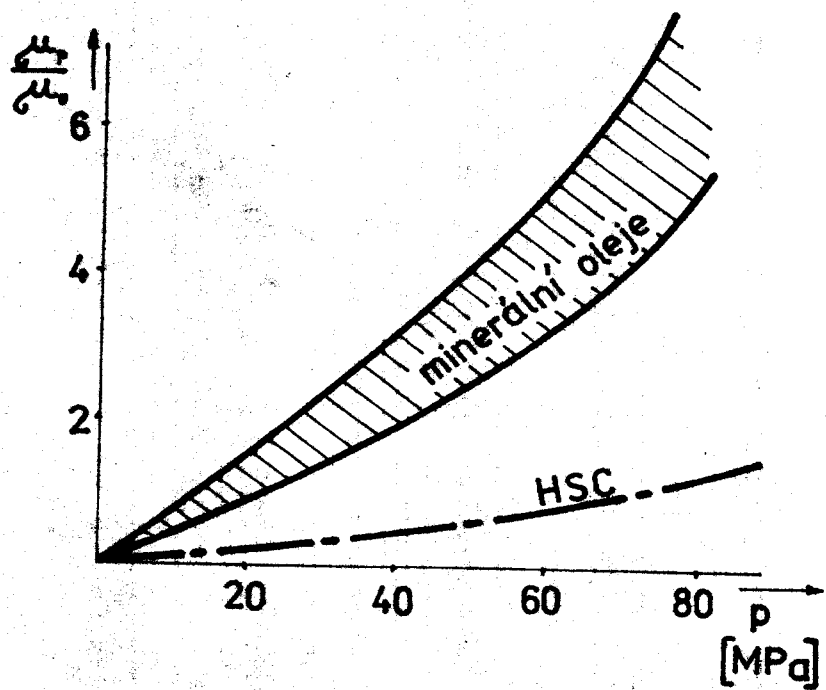
Převídání přírůstku tlaku v posledních letech způsobil jeho nárůst z počátečních hodnot 4 MPa na dnešních 32-40 MPa. V současnosti však lze začlenit určitou stagnaci v převídání zvýšení tlaku při inovačním procesu. Pro uživatele i výrobce hydrauliky vystaví otázku: Jaká je absolutní nez užitelné tlak a kde je jeho reálné maximum?

Z hlediska konstrukce při stanovení kritérií absolutní nez užitelné tlaku je nutno vztít v úvahu všechny prvek nejdelší, tj. hydrogenerátor a rotační hydromotor. U těchto prvků se přechod na vyšší tlaky řídí především přechodem z valivých na klinové uložení. Používají se také nové materiály, využívající jak pevnostním požadavkům, tak i náročním na třecí vlastnosti.

Vice problémů při zvýšení tlaku bude v oblasti výrobní technologie. Je nutno zde mít na myslí, že jde o výkonnostním až hmotnostním výkonu trámové mikrovláknové mědičnosti s vysokými požadavky na geometrickou přesnost a na jakost opracování. Z tento průběhu kapalín vlivem v důsledku tlakového spádu výplývají nejdříve dodržet maximální tlak a tlustí mechanická vlna.

Načádý mikrometr všecky výrobky vyžaduje několikanásobnou množství nejen na přesnost výroby, ale také na zajištění průběžné výrobní kontroly.

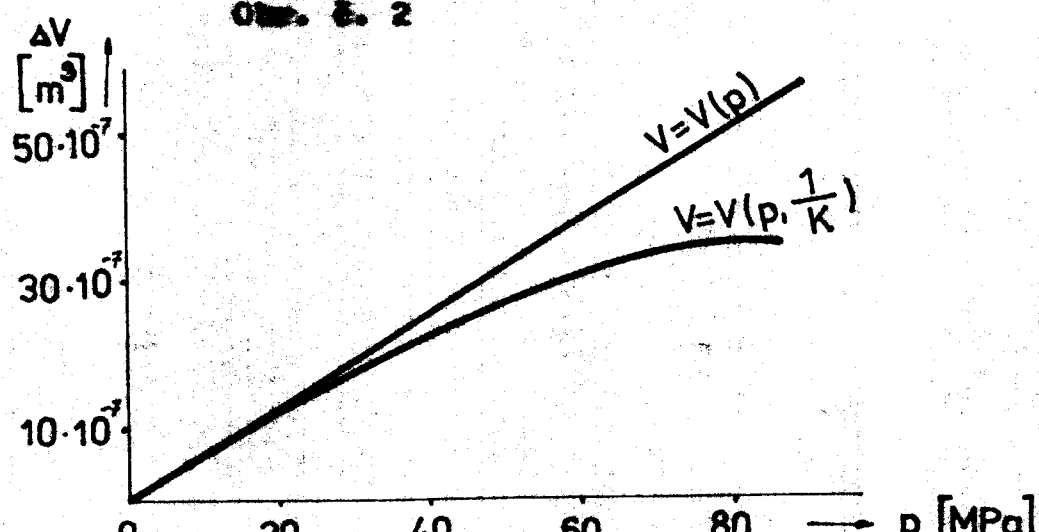
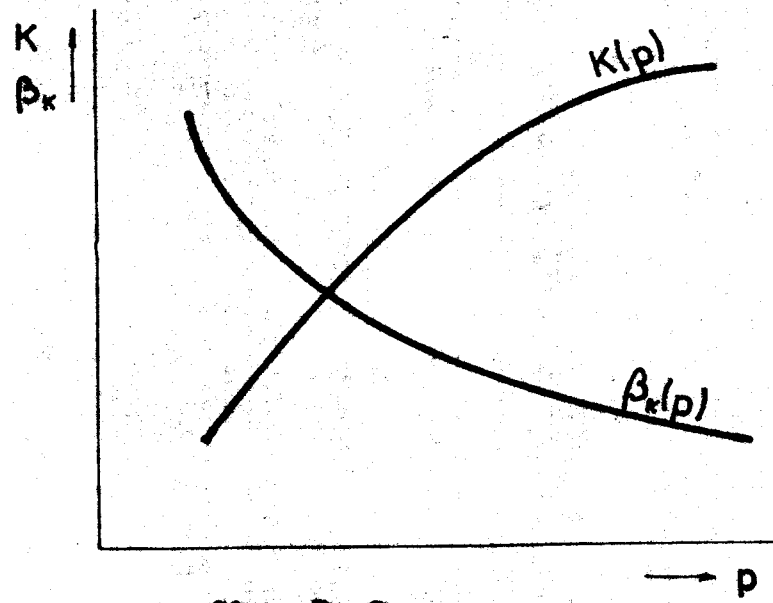
Výpočtem naličí přenosu energie v hydraulickém systému máme pracovní kapalinu, jejíž vlastnosti jsou závislé závislé na tlaku. Základními vlastnostmi prac. kapaliny jsou nízká hustota, viskozita a stlačitelnost. Nejmenší vliv vykazuje tlak na nízkou hustotu a proto se při běžných výpočtech zanedbává a také při vlastní činnosti hydr. mechan je těžko počítatelný. Podstatně důležitější je vliv tlaku na viskozitu kapaliny/viz diagram č. 1/. Rozdíl v závislosti viskozity na tlaku umožňuje také korigovat názar na potřebu snížení výši moři pohybujícími se částmi hydraulického pravna při vyšších pracovních tlacích.



Char. č. 1

Největším problémem provozu a konstrukce hydraulických pravln a zařízení s klidnou kapalinou je její stlačitelnost, charakterizovaná buď kontinuitním stlačitelností β [m^{-1}], nebo objemovým modulem protízasti kapaliny K [$N \cdot m^2$]. Hydraulické zařízení v pro-

vou pracovní výdý s určitým obsahem nerozpustného vzduchu v oleji. Podstatný vliv tohoto vzduchu je však omezen jen do oblasti nízkých a středních tlaků, když do 25 MPa. Závislost tlaku a stlačitelnosti oleje ukazuje obr. č. 2, závislost změny objemu kapaliny na tlaku obr. č. 3.

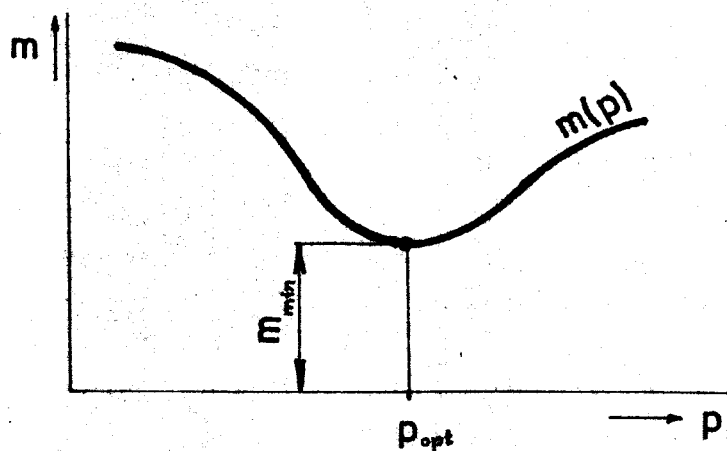


Obr. č. 3

Existence článkových prostorů v pracovním objemu hydraulických motorů v důsledku stlačitelnosti směsi znižuje jejich pohonného účinnost. Při pracovních tlacích nad 50 MPa nastává v oslavové průtokové stropě výraznou poklesem strátce ke stlačení nad strátou pohybu, t.j. volnosti. Proto je jedná o prostředek ke zlepšení.

závislostí mezi tlakem a množstvem hladivých prostorů.

Při posuzování výkonnosti výšek jmenovitých tlaků se často nejedná o maximální hodnotu tlaku vysokotlakého systému a jeho mimořádnou výkonností, ale o optimální hodnotu tlaku hydraulického zařízení v závislosti na tlaku je vlast dlem průběhem v grafu podle obr. č. 4 a významným minimum hodnoty při určitém tlaku, který může podle této kritéria nazvat optimálním.



Obr. č. 4

Počle rozšíření vlivu různých technických i ekonomických parametrů a blížeckého i v příštích letech cítitelnat zvýšení hodnot tlaku v hydraulických mechanismech, i když ne tak intenzivně jako v minulých letech. Za technicky i ekonomicky přijatelnou může vycházet hodnota jmenovitého tlaku 40-45 MPa a mimořádnou tlaku do 63 MPa. Realizace uvedeného tlaku je předpokládat v ohledu možností vyráběných typizovaných hydraulických a pro jednotlivé zvláštěnosti případu mohou být množství i výšek tlaky.

Z hlediska vlastní funkce hydraulického mechanismu jsou dôležitě nejdříve jeho dynamické vlastnosti. Při posuzování dynamického vedení hydraulického systému vycházíme především ze závislosti $K = K(p)$, $K = K(p, t)$ a ze závislosti sněžky objemu ΔV na tlaku. Po zavedení hydraulické kapacity C , kdy jeji písevratné hodnoty, odporn proti deformaci D , pro které platí $C = \frac{1}{D} = \frac{\Delta V}{\Delta p} = \frac{V_0}{K}$.

je z grafu na obr. č.2 a č.3 patrné, že při volbě vyšších pracovních tlaků se bude kapacita C snižovat a podle vztahu

$$\omega_n = S \frac{1}{\sqrt{V_c \cdot \varrho}} \sqrt{\frac{1}{C}}$$

$$a = 2S \sqrt{V_c \cdot \varrho} \cdot \sqrt{\frac{1}{C}}$$

nepřímo ovlivňovat frekvenci a tlumení. Při vyšších pracovních tlacích bude stoupat přírodní frekvence i koeficient přirozeného tlumení a systém tedy bude vykazovat lepší dynamické vlastnosti, lepší citlivost a zvýšení přesnosti jako důsledek snížení vlivu morespuštěného vodivin v oleji.

Všeobecně je uplatňován požadavek co nejvyšší tuhosti celého systému. A tuhosti systému je podstatně závislá na mohutném průtoku kapaliny a pružnosti potrubí. Průtok potrubí je však možno zlepšit/zvětšit u kovového/ a nejjednodušší je uvést svrživo proto, že v poslední době začíná převládat tendence ke stavbě hydraulických strojů ve formě stereotypu z bloků. Jelikž je nutné, aby mechanismus pracoval pouze v podbezpečnostní oblasti, protože jinak hrozí nebezpečí vzniku vlnotních rezonančních kmitů a možnost poškození mechanismu, vyvážení do popředí otáčka rychlou a přesnou měření mohutnou pružnosti kapalin v cívce i vlnotnosti oleje mohou způsobit vznik vlnotních rezonančních kmitů a možnost poškození mechanismu, vyvážení do popředí otáčka rychlou a přesnou měření mohutnou pružnosti kapalin v cívce i vlnotnosti oleje /zvukový tlak, doba poslušnosti a z ní vyplývající ovlivnění vlnotnosti oleje zahrnuje stírání v důsledku oxidacii/. Z těchto důvodů bylo přistupek ke konstrukci přípravku pro měření objemového mohutnou pružnosti kapalin.

12. VLASTNOSTI HYDRAULICKÝCH KAPALIN

2.1 VISCOSITA

Viskosita je jednou z vlastností, kterou se liší mezi kapalinami od išedliny. Je to veličina, charakterizující velikost vnitřního tlaku kapalin.

Dynamická viscosita je definována vztahem

$$\tau = \mu \frac{dv}{dy} \quad (1)$$

ve kterém τ je tangenciální napětí a $\frac{dv}{dy}$ je rychlostní spád.

Při výpočtu hydraulických odpadů se používá kinematická viscosita, kterou je dánou poměrem dynamické viscosity a hustoty:

$$\gamma = \frac{\mu}{\rho} \quad (2)$$

Pro funkci hydraulického mechanismu je dôležitá závislost viscosity pracovní kapaliny na teplotě. Tuto závislost lze vyjádřit vztahem

$$\gamma_t = \gamma_{50} \left(\frac{t}{50} \right)^n \quad (3)$$

ve kterém je n exponent závislosti na teplotě pracovní kapaliny při teplotě 50°C a lze jej vyhledat v literatuře [2].

Formule (3) je správná pro lehké min. oleje při $n < 2,77$ a v teplotním intervalu $t \in (30, 150)^{\circ}\text{C}$ a pro těžké oleje při $n > 2,77$ v intervalu $t \in (40, 110)^{\circ}\text{C}$.

To, že vliv tlaku a teploty na viscositu jsou nezávislé na konzistenci, a exponenciální závislost viscosity na spádu tlaku a teploty umožňuje provést výpočet viscosity podle upraveného empirickového trhu

$$\mu = \mu_0 \cdot e^{[\alpha(p - p_0) - \lambda(t - t_0)]}$$

kde pro $t = (40-50)^{\circ}\text{C}$ jsou výrazy α a λ konstantní/viz [2]/.

Vliv tlaku na viscositu vyjadruje diagram na obr. č. 1.

Přítomnost takých čisticích vnitřních pátic v kapalind/např.

jako výsledek průchodu parou, prostředí/ nebo plynné fází vodou nebo svítícími vložkami. Toto zvyšení viskozity můžeme vypočítat využitím dynamické viskozity "Dist4" kapaliny korekčním činitelem $(1-1,35n)^{-2,5}$, kde n je objemová koncentrace cizích přímek.

Ko zjištění viskozity se používají různé přístroje, jako například vlnovodový /Vibracel, Viscotest, Viscotestik/, viskozimetry tlakové /Stenstorv, Densitron/, tlakovodové /Heraud-Goldbach/, v. bublinkové/Stenstorv, stupňový bublinkový/ a některé další typy. Nejčastěji je používán viskozimetr Englerov a Boppelrov.

Všechny uvedené přístroje umožňují měření viskozity pouze za atmosférického tlaku. U hydraulických mechanismů je však třeba znát hodnoty viskozity při vyšších tlacích. Pro takové měření by bylo možno upravit Boppelov viskozimetr tím způsobem, že silikonová trubice by byla nahrazena trubicí ocelovou s magneticky náhledem materiálu a kuličkou s magneticky tvrdým materiálem. Bohužel kuličky moci dvíjet rychlostí by byly měřena elektricky pomocí indukčních anemických polohy. Podle doby pádu by se hodnota viskozity určila z tabulek stejně jako při obvyklém měření při atmosférickém tlaku.

Změnu velikosti viskozity je možno znít a počítat s ní jednak při konstrukčním řešení/korekcí vlivu mezi pohybujícími se částmi/, jednak z toho důvodu, že některé regulační systémy v hydraulice, zejména systém tryska-klapka, jsou na malou viskozitu velmi citlivé a tyto by mohly je po určité době na jinou hodnotu opět změnit.

2.2 STAVEROVÉ Rovnice

2.2.1 Stavová rovnice kapaliny

Stavová rovnice kapaliny je v podstatě definována jako vztah mezi hustotou, tlakem a teplotou. Stavovou rovnici kapaliny však nelze odvodit matematicky z fyzikálních principů, na rozdíl od kinetické teorie plynu, která umožňuje stavovou rovnici plynu formulovat. Přesto však, protože změna měrné hustoty s tlakem a teplotou je malá, můžeme tuto funkci approximovat pomocí třídy členy Taylorovy řady pro dvě proměnné - tlak a teplota, takže

$$\varrho = \varrho_0 + \left(\frac{\partial \varrho}{\partial p} \right)_T (p - p_0) + \left(\frac{\partial \varrho}{\partial T} \right)_p (T - T_0) + \dots \quad (4)$$

kde ϱ, p a T jsou charakteristické hodnoty měrné hustoty, tlaku a teploty, ϱ_0, p_0, T_0 jsou hodnoty počáteční.

Velice často se vztah (4) používá ve tvaru:

$$\varrho = \varrho_0 \left[1 + \frac{1}{K} (p - p_0) - \alpha (T - T_0) \right] \quad (5)$$

Mezi

$$K = \varrho_0 \left(\frac{\partial p}{\partial \varrho} \right)_T \quad ; \quad \alpha = - \frac{1}{\varrho_0} \left(\frac{\partial \varrho}{\partial T} \right)_p$$

Rovnice (1) resp. (2) je lineárnizovaná stavová rovnice kapaliny. Měrná hustota tedy může se srovnávat s tlakem a napak se součinuje s rostoucí teplotou. Protože měrná hustota je hustota kapaliny vztahem mezi svými ohry, můžeme volit oběj tak, aby platilo: $V \cdot \varrho = 1$

$$\partial V \cdot \varrho + \varrho \cdot \partial V = 0$$

a pak platí, že:

$$K = -V \left(\frac{\partial p}{\partial V} \right)_T \quad (6)$$

$$\alpha = \frac{1}{V_0} \left(\frac{\partial V}{\partial T} \right)_p \quad (7)$$

ΔV je základní objem a V_0 počáteční celkový objem kapaliny.

Hodnota K se může se změnou tlaku a objemu při konstantní teplotě a mazivu se izotermický objemový modul pružnosti /kritický modul pružnosti kapaliny/.

Součinitel α vyjadřuje změnu objemu a teplotou při konst.
tlaku a mazivu se součinitel objemového roztažení.

2.2.2 Ochranný modul pružnosti

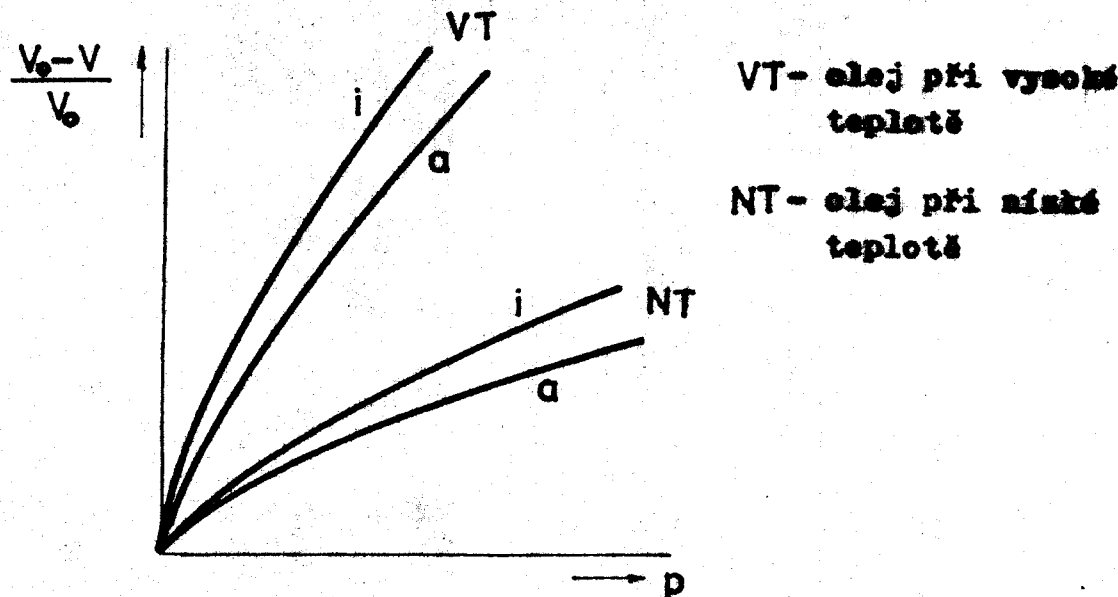
Přesobením základního tlaku na pracovní hydraulickou kapalinu se můží v důsledku její stlačitelnosti její objem, a to závislé i mazivu její hustoty. Změna objemu V nebo hustoty ρ se může vyjádřit poměrem deformací ξ :

$$-\frac{dV}{V} = \frac{d\rho}{\rho} = d\xi \quad (8)$$

Při stlačování kapaliny její teplota stoupá a tento vzestup teploty způsobuje, že mazivá určité světložení objemu vlivem teplotní roztažnosti kapaliny, která částečně kompenzuje změnu objemu způsobené tlakem. Z uvedeného vyplývá, že stlačení kapaliny bude větší, jestliže bude stlačování izotermicky, než při stlačování isentropickém/adiabatickém/. Při základních tlaků v kapalině však předpokládáme, že se jedná o izotermické jevy. Přitom ale víme, že tyto jevy nezahrnují ani stejnou teplotu, ale teploty se mění až o desítky kelvinů. Jestliže však jevy pokládáme za izotermické, depenují se stále menší chyby, než kdybychom je pokládali za adiabatické.

Typické hravky stlačení jsou pro jeden olej při dvou různých teplotách uvedeny na obr. č.5.2 ochrana je patrné, že stlačení je vždy větší při větší teplotě. Dále je zřejmé, že hravky stlačení nejsou přiměřeně/neplatí pro ně Hookův zákon jeho pro pevné látky/, ale jsou to vždy hravky vydaté snězem k osové tlaků,

což znamená, že s rosteoucím tlakem kapaliny je stále omeňující ji dale stlačovat. Křivky izotermického stlačení jsou označeny i, křivky adiabatického stlačení a.



Obr. č. 5

Modul objemové pružnosti kapalin je měrou odpisu kapaliny ke snížení svého objemu při působení vnějšího tlaku. Existuje několik způsobů pro výjednání modulu objemové pružnosti kapalin. Často se používá tangenční modul objemové stlačitelnosti, který je vztahem mezi sklonem tangenty ke křivce stlačení a je definován jako:

$$K = -V \left(\frac{\partial p}{\partial V} \right) \quad (9)$$

Protože stlačení může být izotermické nebo izoentropické, jsou uvedeny také izotermické a izoentropické moduly objemové pružnosti kapalin. Jejich tangenciální hodnoty jsou definovány takto:

$$K_T = -V \left(\frac{\partial p}{\partial V} \right)_T \quad (10)$$

$$K_S = -V \left(\frac{\partial p}{\partial V} \right)_S \quad (11)$$

Kde symboly T a S platí pro konstantní hodnoty teploty a entropie.

Pro účely výpočtu praktických měr objemu je výhodnější výraz,

Který označuje odpor mezi tlakem a stlačením. Tento poměr je znám v definicích jeho mnoha modifikací objemové pružnosti kapaliny, protože podle definice je ekvivalentní se sklonem išosky, kterou spojuje bod na křivce stlačení s jejím počátkem (viz obr. č. 6).

Je definován jako:

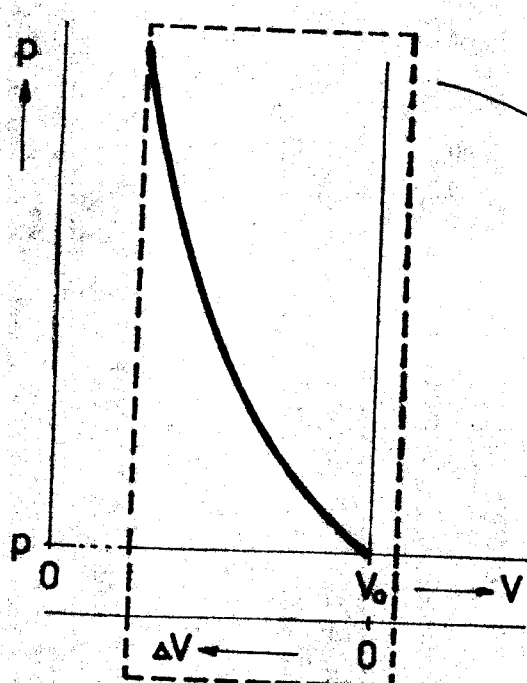
$$\bar{K} = \frac{V_0 \cdot p}{V_0 - V} \quad (12)$$

Jeho izotermické a isentropické hodnoty budou:

$$\bar{K}_T = \left(\frac{V_0 \cdot p}{V_0 - V} \right)_T \quad (13)$$

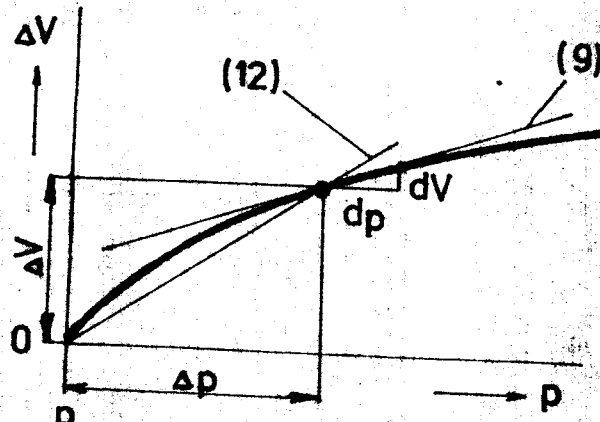
$$\bar{K}_s = \left(\frac{V_0 \cdot p}{V_0 - V} \right)_s \quad (14)$$

Obrázek č. 6 ukazuje principiální průběh komprezní křivky uzavřeného množství kapaliny a geometrickou interpretaci rovnice (9) a (12).



$$K = -V \cdot \frac{dp}{dV} \quad \beta = -\frac{1}{V} \cdot \frac{dV}{dp} \quad (9)$$

$$K = V_0 \cdot \frac{p - p_0}{V_0 - V} = V_0 \cdot \frac{\Delta p}{\Delta V} \quad (12)$$



Obr. č. 6 - Komprezáni křivka uzavřeného množství kapaliny. Z obrázku vyplývá, že tečné i mnohé moduly se při nulovém tlaku pohybuji, ale při zvýšení tlaku se mění až liší.

Z předešlým výplývá, že pro jakoukoliv kapalinu existují při dané teplotě a tlaku vždy minimálně čtyři různé hodnoty modulu objemové pružnosti/rezistence (10), (11), (13) a (14), které se od sebe mohou maximálně lišit. Proto je vždy důležité vybrat si správnou hodnotu modulu objemové pružnosti, kterou by bylo možno použít ve výpočtech.

Linearizovaný zákon o deformaci na předpokladu, že proces je dostatečně dlouhý, aby mohlo dojít k ustálení rovnovážného stavu, vede k přímé závislosti mezi deformací od změny tlaku:

$$dp = K \cdot df \quad (15)$$

Koefficient úměrnosti K , který je závislý na rychlosti změny tlaku, je jistě menší než statickým modulom objemové pružnosti kapaliny. Jako hodnoty se mohou stanovit statickými nebo kvazistatickými závislostmi, tzn. při poměrně nízkých frekvenčních tlakových změnách a při sužitění izotropické masy.

Při zvýšení frekvenční tlakových změn pod určitou hranici, např. při zvýšení rychlosti změny tlaku, je hodnota K konstantní.

Objemové stopy spojené s prudkou deformací kapaliny je třeba počítat podle vztahu:

$$Q = -\frac{dV}{dt} = V \cdot \frac{df}{dt} = \frac{V}{K} \cdot \frac{dp}{dt} \quad (16)$$

Tento vztah je třeba korigovat o vlivu deformačních změn objemu kapaliny/např. deformace stěn potrubí/.

Při určování deformací uplatňovaných hodnotou změny tlaku a p. lze použít linearizovaný Hookův zákon, a to ve formě konečných rozdílů, ale pouze v tom případě, jestliže hodnota p se příliš mění v porovnání s hodnotami K_0 a K . Potom tedy platí:

$$\Delta p = -K_0 \frac{\Delta V}{V} \quad (17)$$

Při jakémkoliv vztahu mezi tlakem je nutné provést

integraci rovnice (15). Jestliže platí, že $K = K_{T_0} \cdot f/p$, jejíž závislost lze určit experimentálně, pak je možné integraci této rovnice provést graficky.

Při $K = \text{konst.}$ a malých tlakových spádach integrace rovnice (15) vede k této exponenciální závislosti:

$$V = V_0 e^{-\frac{p - p_0}{K_T}} \quad (18)$$

Protože však v praxi $K \neq K_{T_0}$, je možné při výpočtech deformací K volit velmi opatrně.

Pro některé minerální oleje je závislost K na tlaku lineární:

$$K_T = A p + B \quad (19)$$

Hodnoty koeficientů A a B jsou uvedené v lit. [2].

Hodnoty koeficientů A_a a B_a platí pro adiabatické stlačení.

Po dosazení výrazu K do rovnice (15) a po provedení její integrace můžeme dostat rovnici ve tvaru:

$$\left(p + \frac{B}{A}\right) \cdot V^A = \left(p_0 + \frac{B}{A}\right) \cdot V_0^A \quad (20)$$

nebo s úpravou ve tvaru:

$$\left(p + \frac{B}{A}\right) \cdot \frac{1}{V^A} = \left(p_0 + \frac{B}{A}\right) \cdot \frac{1}{V_0^A} \quad (21)$$

Z rovnice je vidět, že v intervalu tlakové změny, ve kterém hodnota $\frac{dp}{dp}$ zůstává konstantní, je $A = 1$. Pro řadu minerálních olejů při tlacích do 40 MPa je tato hodnota prakticky neměnná.

V hydraulických systémech můžeme vzniknout plynné fáze ve formě bublinek, jejich množství je $\bar{V}_p = \frac{V_p - V_{s_0}}{V_{s_0}}$ a toto množství je závislé na tlaku, teplotě, reakci a době průecu a také na objemu V_{s_0} a plynné fáze v počátečních podmínkách. Jestliže homogenicky usavíme nepohyblivý objem kapaliny, pak podle Henryho zákona o nepohyblivé kapalině je při ustálené teplotě

rovnovážná koncentrace rozpustěného plynu uvnitř jeho tlaku nad roztokem/ daje k rozpustení plynné fáze a poklesu tlaku od počáteční hodnoty p_0 do $p_1 < p_0$.

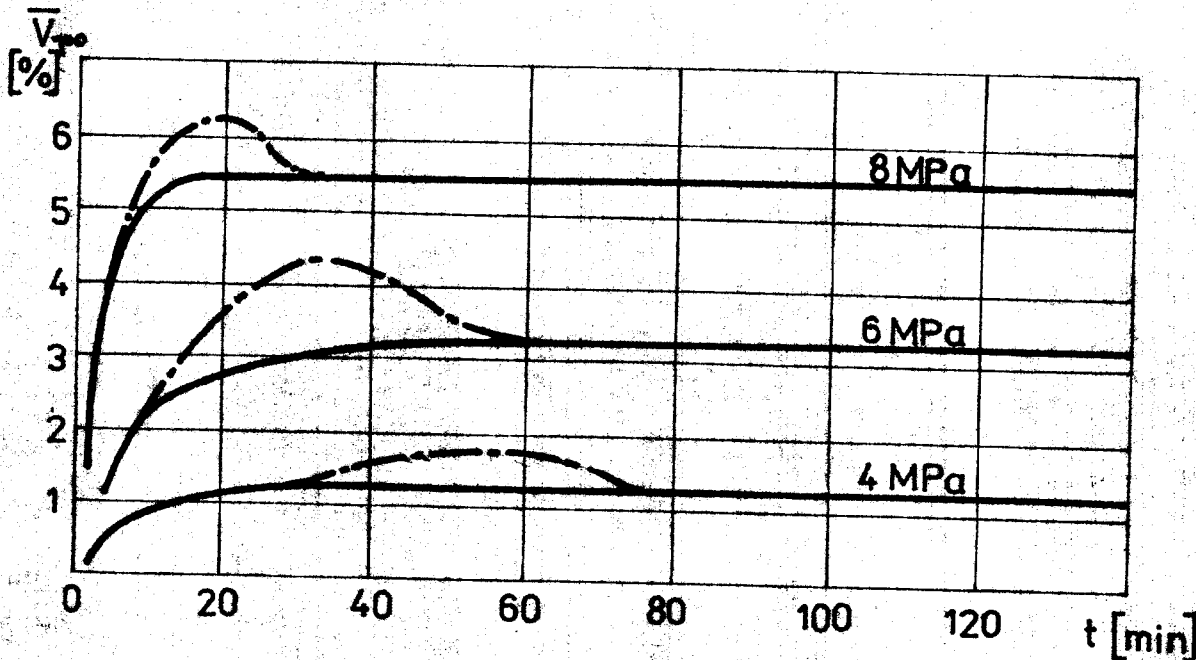
Při změně teploty z t_0^* na t_1^* hodnotu \bar{V}_{p_0} můžeme vypočítat jako:

$$\bar{V}_{p_0} = \frac{1}{1 + \frac{[1 + \alpha(t_1^* - t_0^*)](p_0 + 1)(p_0 - p_1)}{(K + p_1)(t_1^* + 273)}} \quad (22)$$

kde α je koeficient tepelné rostlinnosti kapaliny.

Kromě plynné fáze P je vždy přítomena rozpustěná plynná složka R . Experimentálně je dokázáno, že přítomnost fáze R v hmotě přesnosti měření nemávládování vlastnosti procesních kapalin.

Po úplných pokusech je zřejmé/počle lit. [2]/, že proces stabilizace měření průce /závislost \bar{V}_{p_0} na čase/ je závislý na tom, jestli bude opakovaný hydraulický pokus první po delší přestávce mezi opakováním /tj. se napracoványm olejem/, na délce vedení a na druhu zatížení. Na obr. 7 je grafické znázornění závislosti měření rozpustěné plynné fáze \bar{V}_{p_0} na čase při opakování škrticím orgánem/berchování čára plstí pro nový olej/.



Obr. 7

Jestliže napětí vzniká počítaní s puštěním, pak čas na dosažení stabilitance \bar{V}_s zřídka převyšuje 20 minut. Pokud rozebíráme statické a kvazistatické reálné deformace, pak při přítomnosti fází P tlaky v plynné i v tekuté fázi můžeme uvažovat stejně.

V souladu s rovnicí (15) modul objemové pružnosti můžeme K_s hledat:

$$K_s = - \frac{V_s}{dV_s} dp = - \frac{V + V_s}{dV + dV_s} \cdot dp = K \cdot \frac{1 + \frac{V_s}{V}}{1 + \frac{dV_s}{dV}} \quad (23)$$

kde V_s je objem sušai, V_p je objem fáze P a V je objem fáze. S použitím některých druhů uvedených rovnic a dalších vztahů lze pro výsledný modul pružnosti můžeme podle lit. [2] udovedit vztah:

$$K_s = \frac{1 + \frac{\bar{V}_{p_0}}{1 - \bar{V}_{p_0}} \sqrt[k]{\frac{p_0 + 1}{p + 1}} \frac{A}{A_p + B}}{1 + \frac{\bar{V}_{p_0}}{1 - \bar{V}_{p_0}} \cdot \frac{A_p + B}{k(p + 1)} \sqrt[k]{\frac{p_0 + 1}{p + 1}} \frac{A}{A_p + B}} \quad (24)$$

kde k je exponent polytropy a A a B koeficienty ze vztahu (19).

2.2.3 Dinamické deformace

V kapalině, podobně jako vlivu harmonických deformací a dostatečně malými amplitudami se tlak mění podle harmonického zákona se spojováním se fází, závisící na frekvenci. Protože se jedná o velmi vysoké frekvence, dochází v podstatě k akustickým jevům. Vzhledem k tomu, že vlny v kapalině se s rychlostí větší, než je rychlosť svuku, nelze použít izotermický modul pružnosti, ale je nutno uvažovat adiabatický modul K_a . Jeho přímé měření by bylo velmi obtížné a bylo by nutné použít měřicího válce a generátora hnitů. Tento problém lze obepít výpočtem adiabatického modulu pomocí izotermického modulu. Tento výpočet lze provést podle vztahu:

$$K_a = K \left(1 + \frac{\alpha^2 T K}{C_p C_v} \right) \quad (25)$$

Také lze použít jednoduššího vztahu, podle kterého izotermický

a isentropický modul stlačitelnosti jsou vzhledem k sobě ve stejném poměru, jako specifické teplo půjčí konstantním objemu a konstantním tlakem. Platí tedy vztah:

$$\frac{K_0}{K_T} = \frac{C_p}{C_v} = \gamma \quad (26)$$

Velikost γ je závislá na druhu a molekulové struktuře látky.

Obvykle se používá v rozmezí $\gamma = 1,12-1,16$. Všeobecně platí, že γ s rostoucím tlakem a při stálé teplotě se zmenšuje a blíží se hranicí hodnotě 1.

Při dynamickém procesu deformace platí také rovnice (18) a (20) po základním snížení K na K_0 a při posílení koeficientů A_0 a B_0 /podle literatury [2]/.

3. KONSTRUKCE PŘÍPRAVKU

3.1 POŽADAVKY NA PŘÍPRAVEK

Z předešlého popisu vlastnosti kapalin je zřejmé, že výhodou pro určení modulu objemové pružnosti je získání návialnosti mezi malou objem kapaliny a malou tlakem. Tato návialnost je možna zajistit buď postupným měřením pro diskrétní hodnoty tlaku nebo spojitě na součadnicovém zapisevací.

Ze získané návialnosti je pak možné určit tangentový i sekundový modul pružnosti kapaliny.

Protale je nutno zajistit měření modulu pružnosti kapaliny v návialnosti na teplotě, na objemu nerospustného vzduchu/fáze P/ a na čase/např. při akceleraci vlivu dleby chodu stroje od spuštění na vlastnosti kapaliny/, musí přípravek umožňovat tyto činnosti:

- měnit tlak
- měnit teplotu
- měnit tlak a teplotu současně
- měnit odchovaný vzorek a měřit tak stav oleje
- z okamžiku odchování vzorku od do provedení měření
- měnit oleje s různým obsahem nerospustného vzduchu

Pro získání návialnosti mezi objemem na malém tlaku by bylo výhodné použít přístroje na měření teploty a tlaku s elektrickým výstupem, aby bylo možno použít součadnicového zapisevací. Z požadavku na udržení stavu oleje od okamžiku odberu vzorku do provedení měření je zřejmé, že přípravek musí umožnit rychlou a snadnou výměnu měřeného vzorku, protože doba nutná k výměně vzorku v nejvyšší míře ovlivňuje dobu měření.

Vzhledem k tomu, že všechny uvedené požadavky splňuje přípravek, který byl postaven a posílen na TU Hannover, byl požadovaný navržen podle principiálního schéma z literatury [4].

3.2 POPIS PŘÍPRAVKU

Přípravek je v podstatě složen z tlakové nádoby (1), ve které je umístěna odlíšná baňka (36) se zkrumponým olejem, a z vnějšího pouzdra (3), jehož je složen z výkresu sestavy I-RM-03-008/01.

Pro zajištění rychlé výměny odlíšné baňky se vnitrem oleje je tlakové nádoba uzavřena víčkem (2) s bojnostovým usávěrem, které je upevněno s-kroužkem (32). Pro snadnější nasazení bojnostového usávěru a pro vyvážení přitlačné síly na tlakovou jsou zadníchové části bojnostového usávěru zkrumpony pod úhlem 30° .

Z důvodů snadnější manipulace s odlíšnou baňkou při výměně vnitřku je tato baňka umístěna v kuli (4), kterou je možné snadno manipulovat, který má dno (5) proti povrchu bojnostového usávěru. Pro nastavení nové baňky do nové působnosti slouží tři stavitelé šrouby (23) ve střední kuli.

Odlíšná baňka je uzavřena zašroubovanou zátkou (7) s otvorem, ve kterém se pohybuje maloplošný píst (8). Radialní otvory v zátkách zajišťují všechny stejné nastavení polohy pistu před začátkem každého mřížení a tím také oddělení všech stejných objemů oleje v odlíšné baňce. Kruhový protanec (6) je podobný jako píst také impozitní a toprve jeho nastavením přes radialní otvory je olej v lodi nežádoucě uzavřen.

Jestliže zvykujeme v tlakové nádobi tlak, kapalina se otlakuje a menšími objemy kapaliny uvnitř odlíšné baňky způsobuje posuv pistu. Právě a zálež délka posuvu pistu byly navrženy a ohledem na střední hodnoty maximální objemové prudnosti a rozsah tlaků, pro který má být navržený přípravek k mřížení využit. Protože je rozdíl tlaku nad pistem a pod pistem velmi malý /plocha strany je malá vzhledem k ploše pistu/, můžeme předpokládat, že se baňka nebude vlivem tehoa rozdílu deformovat, a potéže tak zanesene chyba do vypálené mřížky objemu

z posunutí pisto. Tento způsobem lze převodovou nářadí současného objemu ne nářadí předchozího posunu pisto. Posunutí pisto z počáteční polohy je měřeno pomocí induktivního senzoru polohy (35). S ohledem na potřebný rozsah měření je použit senzor IWT 302 - VZD IWT MESSSICHTEN UND DRESEN /měřicí rozsah $\pm 10\text{mm}$, max. Lineární dosahy ± 15 , nejmenší měřitelné posunutí $0,5\text{ }\mu\text{m}$. Přesně a cílevě směrové polohy je uchycena v držidle (12) a jeho poloha lze po hrubém nastavení do náležné polohy zajistit přitlačným kroužkem (33). Přesné nastavení náležné polohy se provádí elektricky. K dosyhnutí tyčinek směrové je přišroubován spojka (11), která zajíždí do spojení tyčinky se strunou (17) pomocí střebelkového knoflíku (24). Předložený způsobem je pomocí dosahy (16) zadáván spojení struny s pisto.

Struna je vedená z tlakové nádoby ve vlně vyrtaném otvorem s průměrem $\varnothing 1\text{ mm}$. Průčelí tento otvor má velmi malý průměr vzhledem k délce/t.j. k tloušťce vlny/, je proto vyvrtán. Průčelí je malé předpokládat, že tímto otvorem bude olej čistotou unikat z nádoby, je ve vlně vyvrtán zadílnat odtokový otvor. Předložený otvor v nádobi je opatřen nálepkou trubkou, na kterou je možné nasadit hadici a vytěsnit olej tak, aby odváděl do obložky nádoby.

Přímý struny je navržen pomocí 1 mm , aby bylo dosaženo min. tlakového tlaku v tlakové nádobě a umožnit odměrné baňky, způsobující rezilnou plachost pisto. Vzhledem k tomu, že struna má velmi malý průměr a vzdálost mezi vedenou, může být výkonem násobně vyšší než u pravidly s ohybem tlakového nádoby/malé tlakové silly spojky a dosahem tyčinky směrové/ a v důsledku toho lze možno dojít k ohybu při nářadí posunu pisto. Z tohoto důvodu je ve vlně umístěná gumička (14), která předopisuje strunu tak, aby byla nářadí posunu na tom. Gumička je navržena tak, aby

předepsané sily minimální měrou ovlivňovala rozdíl tlaků mezi vnitřním tlakové mědoby a exteriérem baňky a zároveň aby byl minimální rozdíl mezi předepsanou silou v dolní a horní poloze pistole/počítací pravítku a malou konstantou/.

Teploza uvnitř mědoby je nízkou pomocí termočlánku, který je umístěn ve dřevce a řezem v tlakové mědobě tak, aby teploza byla mimožem podél výpustného otvora.

Tlak uvnitř mědoby je nízkou elektrickým tlakovým animátorem.

Na výpustném otvor je připojen uzavírací ventil EGM. Připojování od čerpadla je možno při použití generátoru a ručním pohybu uzavřít měřítko N 14x1,5 ČSN 02 1915. Generátor je možno připojit k tlakové mědobě pomocí oboustranného vedení M10x1,5 /výrobkem v DSR/. Pokud se nechce generátor s ručním pohybem používat, je možno místo něho připojit k tlakové mědobě manometr. Tento manometr by sloužil proze orientační při montování tlaku. Jeho výhodou totiž je, že ukazuje tlak na stupni přímo v MPa, zatímco elektrický animátor tlaku udává hodnotu výstupního napětí a aktuální tlak je možno podívat a použít k konstanty přiřízené.

Tlaková mědoba je umístěna uvnitř pláště. Proteren může mědoba a pláště mít protékající olej ze zkrutech na okruhu nebo z ultratermostatu a tak je možné dojít k vzniku požáru nebo výbuchu. Připojování vedení od okruhu nebo od ultratermostatu lze provést trubkovými připojkami příslušnou 10 ČSN 13 7050. Na opační desce pláště jsou vyfrézovány dvě dírky, pomocí kterých lze jednu připojovací připevnit na pracovní stůl.

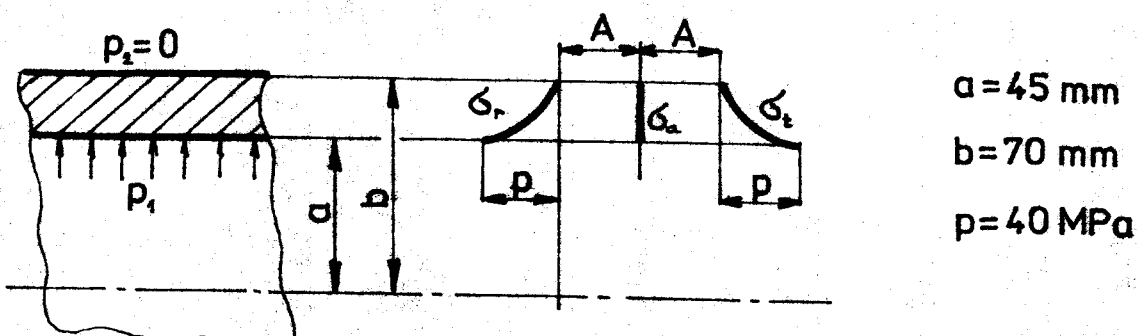
Materiály jehožžlivých součástí jsou volny a ohledem na výrobek zahrnují čistotu využitých materiálů, kde lze připojovací využít.

3.3 PEVNOSTNÍ KONTROLA

Používaná tlaková nádoba bude namíhána zvýšeným vnitřním přetlakem, byla na kritických místech zkontrolována pevnostním výpočtem.

a/ Spodní část tlakové nádoby:

Vzhledem k tomu, že tloušťka stěn nádoby je relativně velká /vzhledem k průměru nádoby/, je ve výpočtu nádoba počítána jako tlustostěnná. Průběh napjatosti je patrný z obr. č. 8.



Obr. č. 8

Pro tlustostěnnou nádobu platí tyto vztahy:

$$\sigma_a = A = \frac{p a^2 - p b^2}{a^2 - b^2} = \frac{a^2}{b^2 - a^2} p = p \frac{1}{k^2 - 1} \quad (27)$$

$$\sigma_r \Big|_{r=a} = -p \quad (28)$$

$$\sigma_t \Big|_{r=a} = 2A + p = \frac{2p}{k^2 - 1} + p = p \frac{k^2 + 1}{k^2 - 1} \quad (29)$$

$$\text{Kde } k = \frac{a}{b}$$

Po dosazení byly vypočteny tyto hodnoty:

$$\sigma_r = -40 \text{ MPa}$$

$$\sigma_a(a) = 28,57 \text{ MPa}$$

$$\sigma_t(a) = 96,33 \text{ MPa}$$

Protala se jedná o plasticky materiál /ocel 12 020/, ekvivalentní napětí se vypočítá podle teorie Hooke podle vztahu (30) a po dosazení je $\sigma_{eq} = 118,08 \text{ MPa}$. Bezpečnost je vztahena k $\sigma_{t,a} = 0,7G = 45 \text{ MPa}$.

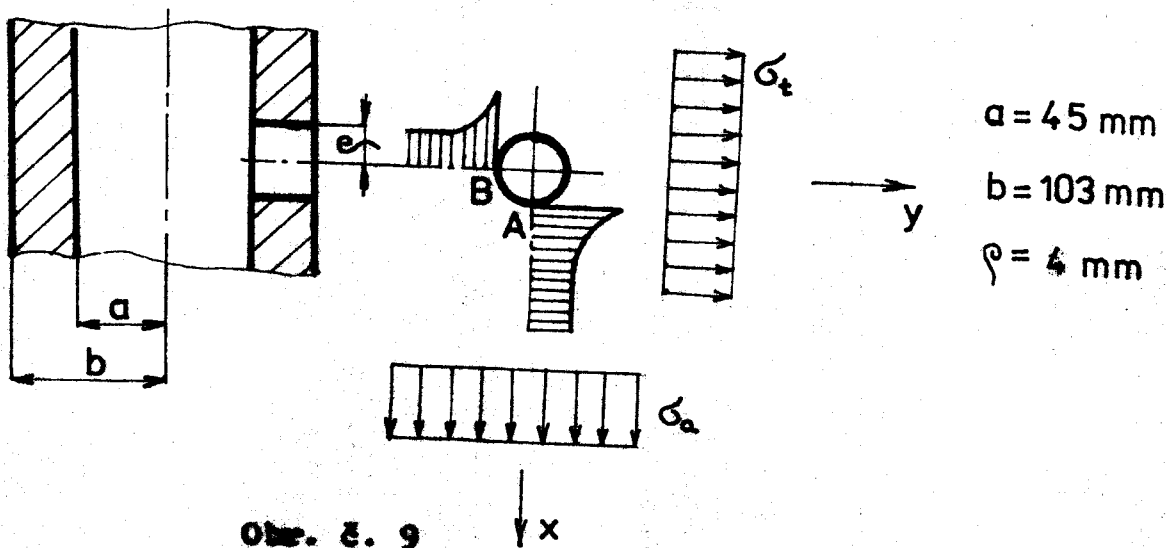
$$\zeta_{\text{ekv}} = \frac{1}{\sqrt{2}} \sqrt{(\zeta_r - \zeta_a)^2 + (\zeta_a + \zeta_t)^2 + (\zeta_t - \zeta_r)^2} \quad (30)$$

Výsledná bezpečnost tedy je: $k = 3,84$

b) Vrchní část tlakové nádoby s otvory:

Napětí jsou opět počítána jako pro tlustostěnnou nádobu.

Místní zvýšení napětí vlivem otvoru je počítáno podle Kirschovy teorie vlivu malého otvoru na napjatost.



Obr. č. 9

Podle Kirschovy teorie platí:

$$\zeta'_{A_t} = 3\zeta_t - \zeta_a \quad (31)$$

$$\zeta'_{B_t} = 3\zeta_a - \zeta_t \quad (32)$$

S použitím vztahů (27), (28) a (29) dílce dostaneme:

$$\zeta'_{A_t} = p \cdot \frac{3k^2 + 2}{k^2 - 1} \quad (33)$$

$$\zeta'_{B_t} = p \cdot \frac{2 - k^2}{k^2 - 1} \quad (34)$$

Napětí od protilehlých míst otvoru je:

$$\zeta'_t = p \cdot \frac{R^2 + \rho^2}{R^2 - \rho^2} = p \quad (\rho \ll R) \quad (35)$$

$$\sigma_r' = -p \quad (36)$$

Najvětší namíhané je místo A, kde vznikají tato výsledná napětí:

$$\sigma_{tA} = \sigma_{At}' + \sigma_t' = p \cdot \frac{4k^2 + 1}{k^2 - 1} \quad (37)$$

$$\sigma_{aA} = \sigma_a + \sigma_r' = -p \quad (38)$$

$$\sigma_{rA} = -p \quad (39)$$

Po dosazení dostáváme tyto hodnoty:

$$\sigma_{tA} = 297,8 \text{ MPa}$$

$$\sigma_{aA} = -30 \text{ MPa}$$

$$\sigma_{rA} = -30 \text{ MPa}$$

Ekvivalentní napětí podle vztahu (30) pak je

$$\sigma_{eqvA} = 297,3 \text{ MPa}$$

a bezpečnost v místě A tedy je

$$k = 1,07$$

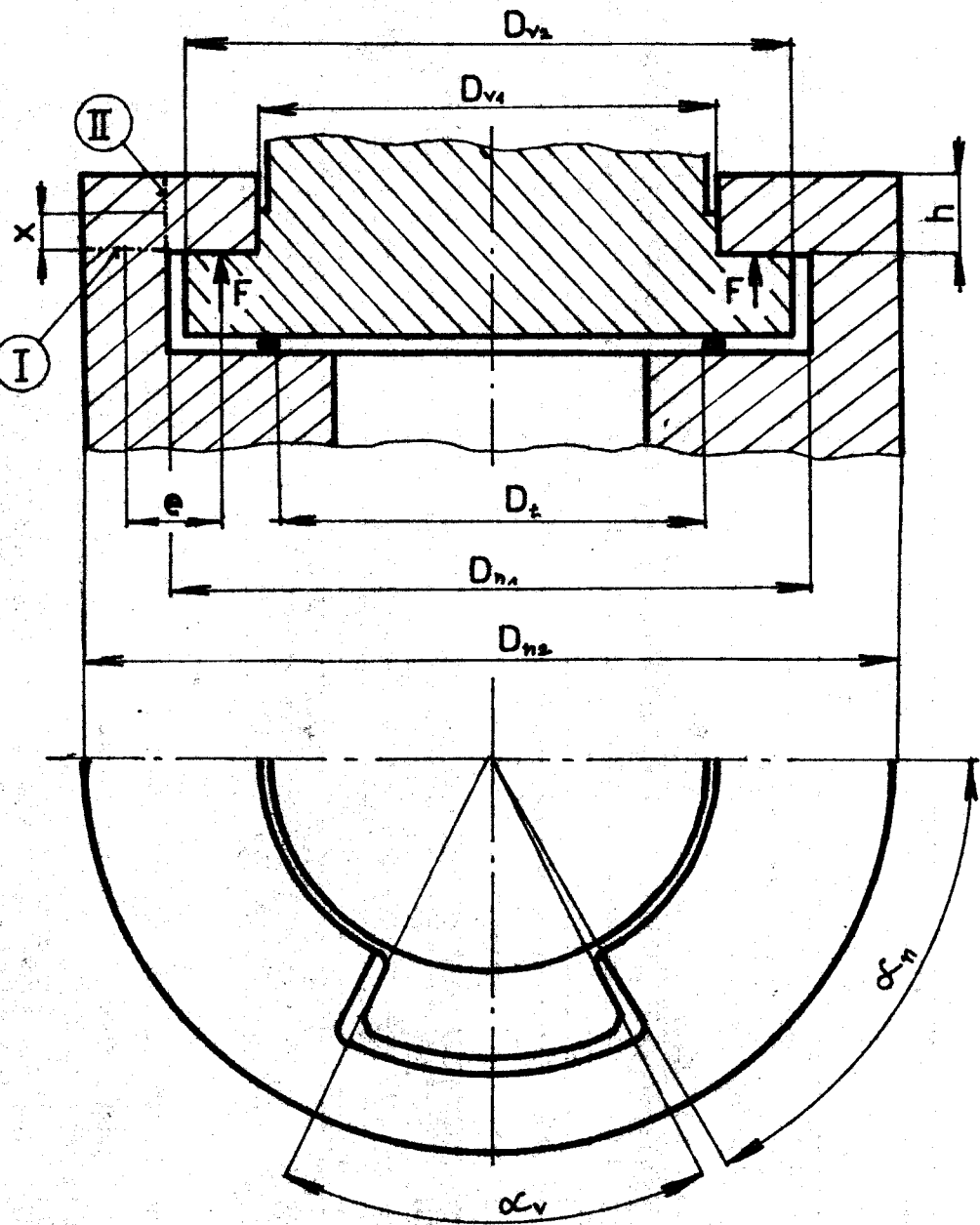
c/ Hajzenstorový uměvr tlakové nádoby:

Změřenání hajzenstorového uměvra s omezením hlavních rozdílů a kritických průřezů je provedeno na obr. č. 10. Kromě povrchové kontroly omezených průřezů I a II byla ještě provedena kontrola silného tlaku mezi osoby při maximálním tlaku.

Vzhledem k tomu, že se jedná o tvarem eliptickou osuďst, byly při výpočtech prováděny některé zjednodušující předpoklady, které jsou uvedeny výšky u příslušného výpočtu.

cc/ Kontrola průřezu I

Zjednodušení v tomto výpočtu spočívá v tom, že předpokládáme tenkostěnnou trubku zatíženou na kmitci rovnoramenně rozloženým okybovým momentem a axiální silou. Pro takovýto případ zatížení platí podle literatury [6] tyto vztahy:



$D_t = 100 \text{ mm}$
 $D_{v1} = 124 \text{ mm}$
 $D_{v2} = 152 \text{ mm}$
 $D_{m1} = 154 \text{ mm}$
 $D_{m2} = 205 \text{ mm}$
 $h = 25 \text{ mm}$
 $e = 21 \text{ mm}$
 $x = 12.5 \text{ mm}$
 $\alpha_v = 53^\circ$
 $\alpha_m = 60^\circ$
 $p = 40 \text{ MPa}$

Obr. č. 10

$$\sigma_{a_0} = \frac{-12 \text{ Ma}}{h^3} z \Big|_{z=-\frac{h}{2}} = \frac{6 \text{ Ma}}{h^2} \quad (40)$$

$$\sigma_{t_0} = \frac{-12 \text{ Mt}}{h^3} z = \mu \cdot \sigma_{a_0} \quad (41)$$

$$\sigma_{t_m} = \frac{N_t}{h} \quad (42)$$

kde σ_{a_0} je axiální napětí osové, σ_{t_0} je axiální napětí obvodové
 a σ_{t_m} je nábočinové napětí obvodové. Za N_t a K_0 dosadíme hodnoty

vypočtené z následujících vztahů. Způsob zatížení je patrný z obr. č. 11. Z obr. je tedy také zřejmé, že v našem případě je příčná síla $Q = 0$.

$$M_a = e^{\xi} \left[M\sqrt{2} \sin\left(\xi + \frac{\pi}{4}\right) + Q s \sin \xi \right] \quad (43)$$

$$N_t = \frac{2r}{s} e^{\xi} \left[M\sqrt{2} \cos\left(\xi + \frac{\pi}{4}\right) + Q s \cos \xi \right] \quad (44)$$

ktež $\xi = \frac{x}{s}$

$$s = 0,78\sqrt{rh}$$

Po dosazení hodnot podle obr. č. 10 dostaneme tyto výsledky:

$$\sigma_{a_0} = 46,98 \text{ MPa}$$

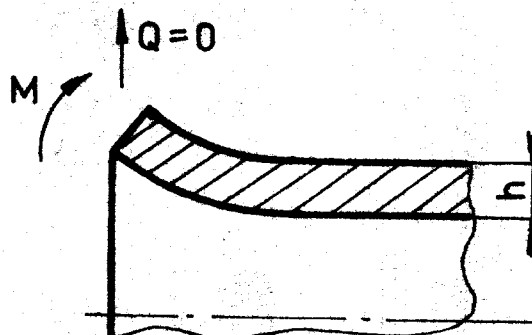
$$\sigma_{t_0} = 29,48 \text{ MPa}$$

$$\sigma_{t_m} = 0,025 \text{ MPa}$$

Kromě těchto napětí vlivem axiální síly vznikají ještě axiální napětí σ_a , která vypočítána jako:

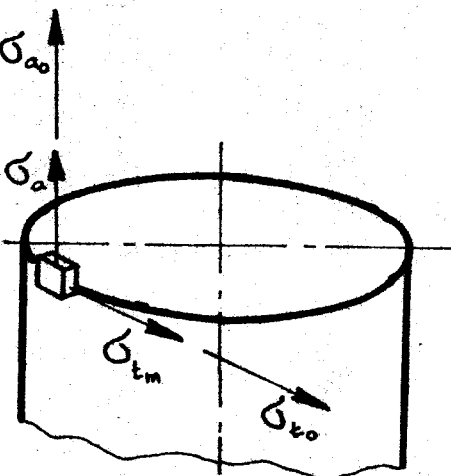
$$\sigma_a = \frac{F}{S} = \frac{2F}{\pi h(D_1 + D_2)} \quad (45)$$

a ježetž hodnota je $\sigma_a = 32,3 \text{ MPa}$



Obr. č. 11

Všechna působící napětí jsou složena podle obr. č. 12 a po určení napětí v hlavních osách bylo určeno výsledné napětí podle teorie MM pomoci vztahu (46).



Obr. č. 12

$$\sigma_1 = \sigma_{a0} + \sigma_a$$

$$\sigma_2 = \sigma_{to} + \sigma_{tm}$$

$$\sigma_3 = \tau$$

$$\sigma_{ekv} = \frac{1}{\sqrt{2}} \sqrt{(\sigma_1 - \sigma_2)^2 + \sigma_1^2 + \sigma_2^2} \quad (46)$$

Po dosazení je výsledné ekvivalentní napětí:

$$\sigma_{ekv} = 107,4 \text{ MPa}$$

a bezpečnost

$$k = 4,2$$

B/ Můstek II přípase III

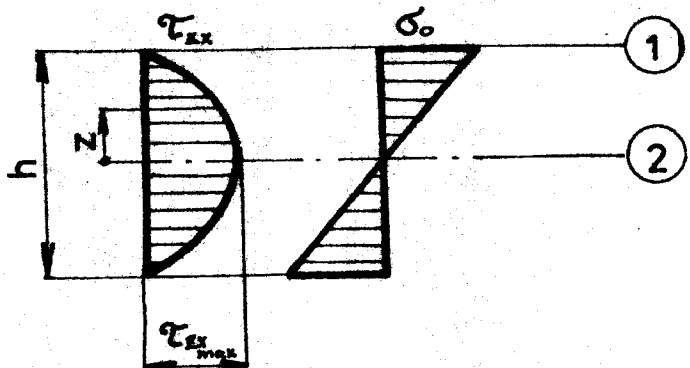
U tohoto přípazu byl proveden ten zjednodušující předpoklad, že jednotlivé osoby jsou přímě vedené nezávisly, a spojení sestavení bylo nahrazeno osadilou silou /která vysvědčí stejný ohýkový moment/. V přípazu III tedy vzniká smykové a ohýkové napětí. Při výpočtu ohýkového napětí je možné postupovat dvěma způsoby:

1/ smykové napětí vzniká od posuvnající síly v ohýbání nezávisle

V tomto případě bude průměrné napětí odpovídant obr. č. 13 a jednotlivé napětí vypočítáno podle vztahů:

$$\tau_{zx} = \frac{3}{2} \cdot \frac{T}{bh} \left(1 - \frac{4z^2}{h^2} \right) \quad (47)$$

$$\tau_{zx} = \tau_{zx} \Big|_{z=0} = \frac{3}{2} \cdot \frac{T}{bh} \quad (48)$$



Obr. č. 13

$$\frac{T_{zx_{\max}}}{T_{zx_{\max}} \text{skuteč.}} = \xi \quad (49)$$

kteří činitel ξ upřesňuje řešení pro široké nosníky, u nichž $b < h$ /tedy napětí mení po číesc rovnoramenné rozložení/.

Zadka [6] je pro podíl $h/b = 0,25$ hodnota $\xi = 2$.

onykové napětí je počítáno podle

$$\sigma_{o_{\max}} = \frac{M_o}{W_o} = \frac{6 M_o}{b h^2} \quad (50)$$

zde: $T = P = 314\ 667 \text{ N}$

$h = 25 \text{ mm}$

$b = 250 \text{ mm}$ /šířky všechn tří osoba/

$M_o = P \cdot e = 3\ 147 \text{ Nm}$

Výsledné napětí tedy jsou:

$$T_{zx_{\max, \text{skut.}}} = 150,4 \text{ MPa}$$

$$\sigma_{o_{\max}} = 120,4 \text{ MPa}$$

Ekvivalentní napětí podle vztahu (51) pro vlákna 1 a 2 jsou:

$$\sigma'_{ekv} = \sqrt{\sigma^2 + 3\tau^2} \quad (51)$$

$$\sigma'_{ekv,1a} = \sigma_{\max} = 120,4 \text{ MPa}$$

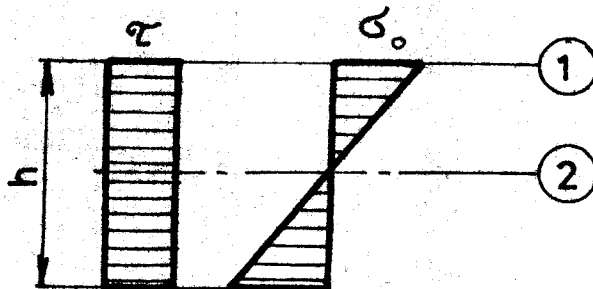
$$\sigma'_{ekv,2a} = \sqrt{3}\tau_{ek} = 260,5 \text{ MPa}$$

2/ onykové napětí je rovnoramenné rozloženo po celém profilu

v tomto případě mohou průběh napětí odpovídat obr. č. 14.

Onykové napětí mohou vstojat jen v případě 1/ a onykové napětí

vypočítáme podle vztahu (52).



Obr. č. 14

$$\sigma_c = \frac{F}{S} = \frac{F}{h \cdot b} \quad (52)$$

Po dosazení konkrétních hodnot jsou podle vztahu (51) ekvivalentní napětí tato velikosti:

$$\sigma_{ekv1b} = 112,40 \text{ MPa}$$

$$\sigma_{ekv2b} = 48,40 \text{ MPa}$$

Z porovnání ekvivalentních napětí v postupech 1/ a 2/ je zřejmé, že největší napětí je σ_{ekv2b} . Při tomto napětí je bezpečnost $k = 1,74$.

a/ kontrola výrobního tlaku

Při výpočtu bylo předpokládáno, že obě plochy jsou rovnoběžné a rovnoběžně vzdálenou i po zatíkání. Při výpočtu tedy byl použit vztah:

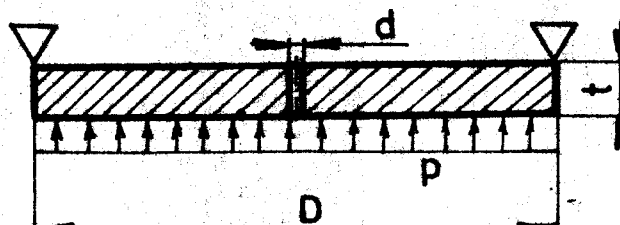
$$p = \frac{F}{S_s} \quad (53)$$

podle kterého výrobní hodnota tlaku $p = 935,35 \text{ mm}$. Tento tlak je menší, než je přípustná hodnota dovoleného tlaku na bocích zvážovaných hrídelkách/při náboji povolený tlak hrídelk a příslušných pracovních podmínek/, a proto vyhovuje.

a/ Výroba tlakové zátěže:

Výpočet byl proveden zjednodušeně jen pro tenkou desku velikou podélkovou a zatíkacou po celé ploše tlakem /obr. č. 15/ podle vztahu (54) /IIS. [8]/. Vliv stranu jeho výrazu je zahrnut.

pomoci koeficientu α se vztahem (55). Pro případ podle obr. 15 je podle lit. [7] velikost $\alpha = 2,68$.



Obr. č. 15

$$d = 1 \text{ mm}$$

$$D = 100 \text{ mm}$$

$$t = 30 \text{ mm}$$

$$P = 40 \text{ MPa}$$

$$\sigma_{\max} = \frac{5}{4} P \left(\frac{r}{t} \right)^2 \quad (54)$$

$$\sigma_{\max, \text{skut}} = \sigma_{\max} \cdot \alpha \quad (55)$$

Po dosazení konkrétních hodnot vycházejí tyto výsledky:

$$\sigma_{\max} = 139,88 \text{ MPa}$$

$$\sigma_{\max, \text{skut}} = 372,22 \text{ MPa}$$

Doporučený v následujícím tedy je: $k = 1,22$

a/ Rovnici pružiny:

Aby byla dosazena malá konstanta pružiny, byly její parametry měřeny takto:

$$R_s = 18 \text{ mm}$$

$$x_1 = 120 \text{ mm}$$

$$d = 0,71 \text{ mm}$$

$$x_f = 3 \text{ mm}$$

$$n = 78 \text{ míváta}$$

$$x_g = 147 \text{ mm}$$

Dopřeti a tlakové síle se vypočítají podle vztahů:

$$\tau = \frac{8 \varphi F D}{\pi d^3} \quad (56)$$

$$F = \frac{\gamma d^4 G}{8 n D^2} \quad (57)$$

a po dosazení mají hodnoty: $\tau_{\max} = 403 \text{ MPa}$

$$\Xi_9 \cdot F_{\max} = 3,69 \text{ N}$$

Dosadit $\sigma = 0,71 \text{ GPa}$, $42 \cdot 6450 \cdot 40$ je $\tau_0 = 0,28 \sigma_{p_t} = 560 \text{ MPa}$.

Doporučený podle max. hodnot tedy je $k = 1,39$.

4. MONTÁŽNA MÍŠENÍ

4.1. MÍŠENÍ K MÍŠENÍ

Při jakémkoliv míšení na nevřeném přípravku je třeba odbrat do očkovné baňky všecky pracovní kapaliny. Odbrát všecko se provede podle tohoto postupu:

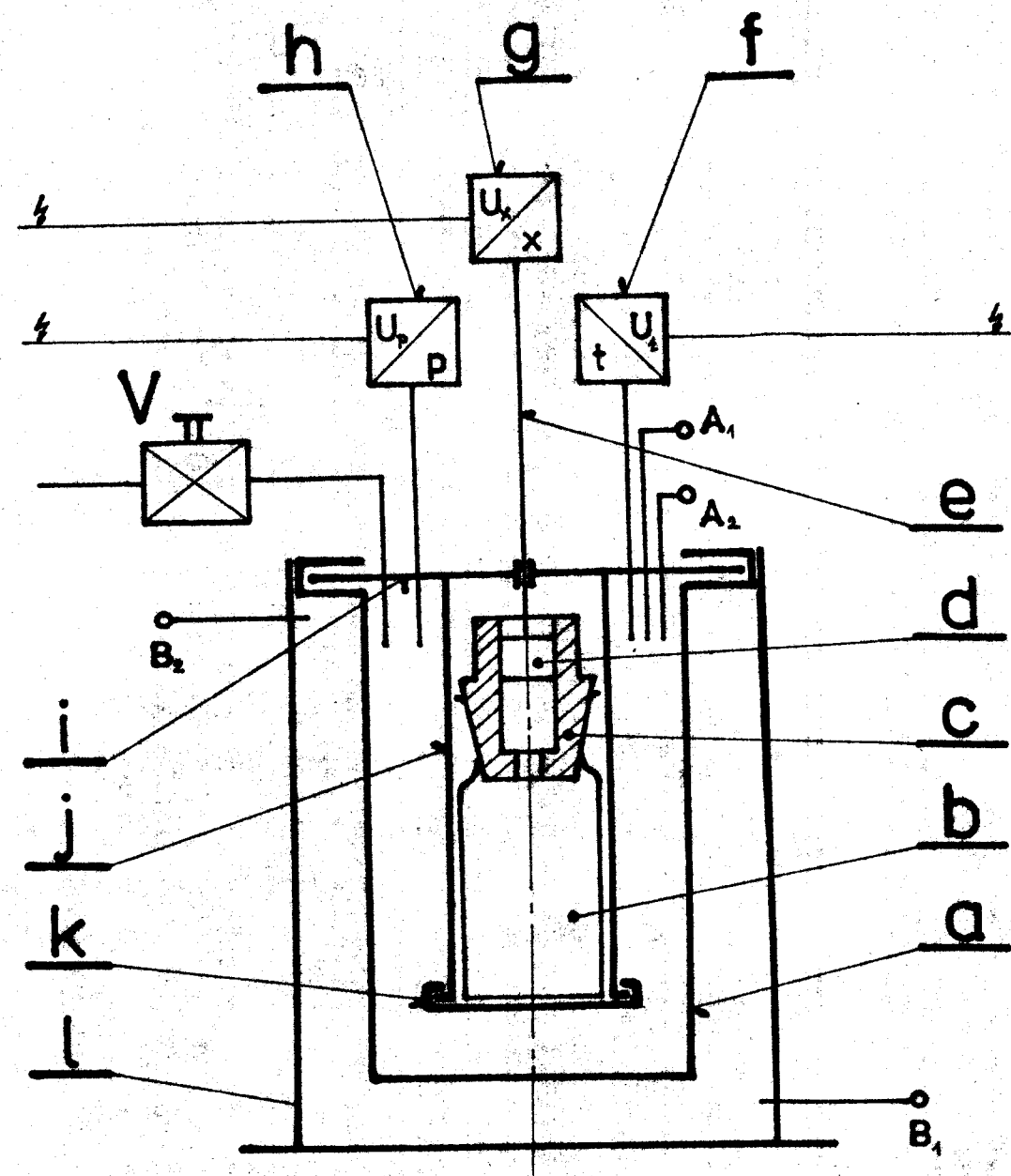
POSTUP K ODBRÁTNÉM VZORKU PRACOVNÍ KAPALINY

- 1/ baňku se zavázánou sítkou posunete do rádruže a pracovní kapalinou a tímto způsobem ji naplníme
- 2/ převlačný prstence posunete nad radiální otvary
- 3/ do sítky nasunete pist /po spodní okraj radiálních otvorů/, přitom předchozího množství kapaliny těmito otvary vytáčete
- 4/ prstence převlačené přes radiální otvary a tím dejte k uzavření všech stejných objemu kapaliny v baňce

Po odbrátném vzorku lze následovat buď ihned nebo po přestavu /významné dobu ustavení k proměně většího počtu vzorků/ vložení očkovné baňky do přípravku. Vložení se provede podle následujícího postupu. Pro lepší orientaci je přípravek s označením klíčových částí schematicky znázorněn na obr. č. 16.

POSTUP K VLOŽENÍM OČKOVÉ BAŇKY DO PŘÍPRAVKU

- 1/ pootečením vloženého otvoru bezpečový udržér, vložte sajmovec a do očkové baňky vložte vložitelnou kožu do dřádku
- 2/ sajmovec dus a holi /bezpečový udržér/ a do holi vložte opakem očkovnou baňku
- 3/ baňku posetíme otvary v holi a holé uzavřeme nazavírením dus
- 4/ horní deliktní strany stříšky proti pruhině tak, aby se strana vložila do otvora v dřádku, a z holé utahujeme střední kroužek v dřádku - tímto způsobem se spojí jádro insulínového unárode palek s pistem posetí strany
- 5/ vložte a baňku v holi vložitelnou do tlakové nádoby a uzavřete bezpečový udržér pootečením vloživo až po zaregistrování



- a* - tlakové měřidlo
- b* - ovládací ventil
- c* - výška
- d* - místo
- e* - struna
- f* - komora
- g* - instalativní a měřicí polohy
- h* - univerzální tlakom.

- i* - výška nádoby
- j* - hřeben
- k* - dní hrana
- l* - pláště
- m* ... univerzální ventil
- A₁, A₂, ...* ... připojky k měřidlu
- B₁, B₂, ...* ... připojky k pláště

Po vložení odloučné částky je přípravek připraven k nářvu.

Vyvákování tlaku uvnitř přípravku je možno provést dvěma způsoby:

- a/ Aluminia - generátor dodává do přípravku neustálé kapaliny a tlak uvnitř tlakové nádoby je tímto úkolem ventilem LIH /na obr. 16/ je ovládán jako V /
- při tomto způsobu vývádku tlaku je možno připejít orientační manometr pomocí vedení MURKNESS /pekně nový manometr připejen, není tlaku manometru vedení uzavřut, protože se po odpojení vedení uzavírá smědník /

b/ metálkováního ručního generátoru

- generátor s ručním pohonem je připejen sběrajícím vedením MURKNESS /a proto nelze jeho připejít manometr/
- před tlakováním je třeba uzavřít ventil LIH a následně uzavřít vedení kroužkou pro generátor a motorickým pohonom

Po provedení příslušných operací podle poskytovaného způsobu vyvákování tlaku je přípravek připraven k vloženího nářvu.

4.2 MĚRÉNÍ NÍŽENÍ

4.2.1 Měření kapaliny

Při tomto měření se využívá sítivost $V = f(p)$ při různých teplotách a z měřených hodnot lze určit průběh $K = K(t)$.
Při měření je rozhodující teplota uvnitř odměrné baňky, ale tato teplota nelze na měřeném přípravku měřit přímo /splňuje tohoto požadavku by celý přípravek zkomplikoval a snížil by rychlosť měření/. Je nutno měřit teplotu uvnitř tlakové nádoby a po dosážení požadované teploty máte je třeba počkat na vynášení teploty mimo kapalinu v tlakové nádobě a v odměrné baňce. Délka výběru ze teploty je závislá na požadované přesnosti měření a po nastavení přípravku ji lze nutno pro získání přesnosti experimentálně měřit.

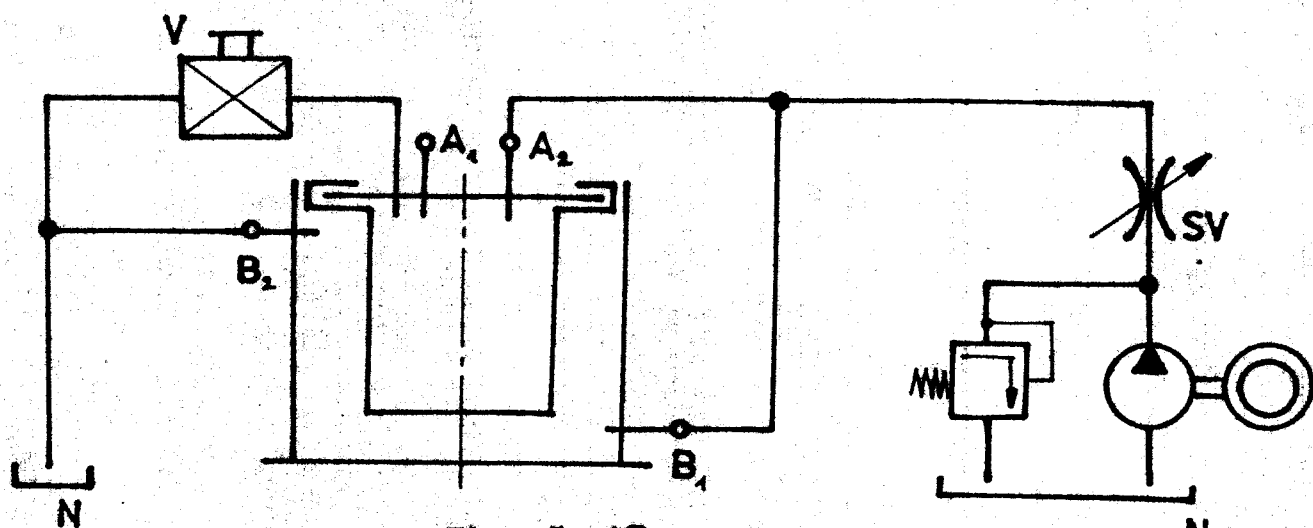
Změna teploty kapaliny je možná dosažit dvěma způsoby:

1/ použitím škrticího ventila

2/ použitím ultratermistoru

ad 1/ Jeden z následujících způsobů použití škrticího ventila

k ohřevu kapaliny je uveden na obr. č. 17 . Při ohřívání je ventil V zcela otevřen a kapalina protéká od generátora škrticím ventilem SV /kde se v důsledku tlaku ohřívá/ a zpět tlakovou nádobou i pláštěm opět do ohřeové nádoby.



Obr. č. 17

Po dosažení požadované teploty je nutno pomocný obvod
odpojit a na vstup A_2 připejte generátor /na vstupu A_1
je připojen manometr nebo je manometr uzavřen/ nebo
vstup A_2 uzavřit /na vstupu A_1 je v tomto případě připoj-
jen generátor s ručním pohonem/.

III 2/ Při použití ultratermostatu /možno použít např. výrobek
VEM 5000 Fertigste-Werk Hedingen, typ U 10/ je vhodné jeho
teploměrné zádium použít shromážděnou kapalinu, protože pak
je možné požadovat jeho při použití škrticího ventilu mechat
prostřednictvím kapaliny tlak. zásobou i pláštěm, čímž
se celý obvod urychlí. Průtok kapaliny je dosažen čerpadlem
vezaným do ultratermostatu /u uvedeného typu můžete
podle týmu 7 l/min/.

Obě metody ohřeva je možné použít i při takové verzi měření,
kdy uvnitř tlakové nádoby je stálé udržován určitý tlak. V tomto
případě je třeba zapojení pouze uzavřít tak, aby obtížnou
kapalinu protékala pouze pláštěm /pomocný obvod nebo ultrater-
mostat jsou připojeny pouze na přípojky A_1 a A_2 na pláště/.

Při všech uvedených případech je také nutné, aby generátor
dostatkuf k dosažení tlaku pracoval také s kapalinou o požad-
ované teplotě, a toto aby při své činnosti neovlivňoval teplotu
vnitř tlakové nádoby /to se týká i generátoru s ručním pohonem/
a měření při stálém udržování tlaku při ovýklovení teploty,
protože v důsledku tohoto tlakového vlivu bude nutno kapalinu
neustále doplňovat/.

4.2.2 Závislost K na tlaku a koncentraci živícího vodíku

Při tomto měření je třeba pomocný obvod použít kapalinu v otevřené
odnímadlé buňce a měřit tlak v buňce a tlak v obvodu pomocného obvodu
/tisk 24 milibary/ do kapaliny opustit. Dosažení určitého tlaku
tlaku P v kapalině se provede využitím měřicího manometru umístě-

pomoci injektionní stříkacíky do kapaliny tloušť před uzavřením odnímatelného krytu.

Prováděním sérije nářadí a různých obrazek řady P je pak možno získat následující: $K = K(\bar{V}_p)$. Při zvyšování objemu řady P je třeba postupovat opatrně, protože při růstu \bar{V}_p můžete prohladit kapalinu blási, a tody dráha posunu pistole se bude prodloužit. V případě, že by se pistole posunula od na osazení a tlak by se díky svýšení, mohlo by dojít k rozdrobení houby.

4.2.3 Závislost K kapaliny a průměrném objemu na tlaku a na vnitřním tlaku

Jak již bylo uvedeno v úvodu, můžete objemové průběhy kapaliny ovlivňuje více faktorů. Při provozu se u pracovní kapaliny většinou nejdílčí vliv mají tyto faktory. Nejvýznamnější je jejich změna v poměru krátka časový interval po spuštění stroje, po dobu asi 20-30 minut dochází k ustálání. Ustávající změny K v této počátečních několika minutách závisí hlavně K na teplotě, na množství nezkapalněného vodíku a z dalších faktorů by bylo obtížné a stejně i nepraktické. Ustanovení změny K lze provést i přímo mítěním, i když tato mítění bude mít rozdíl od předešlých jediných mítění, když na organizaci i na materiál. Můžete být například povinen větší množství odnímatelných houšek. Počet odnímatelných houšek bude záviset na těchto okolnostech:

- a/ požadovaném intervalu mezi jednotlivými mítěními
- b/ délce doby, kterou bude trvat mítění jednotlivých mítění
- c/ počtu mítění připravených, které budou k dispozici

Přitom je třeba zájistit, že každá houška může mít na svého hrdu zakrouženou nážlu s pistole a pěnovělnou kroužkou.

Organizačně je třeba zajistit, aby mít odstraněním vznikla a mítění uplynilo co nejdříve doba /jinak se bude mítění teplota, i když pouze málo vznikat v lednu, ne které jsem ho odstranil,

protože se bude měnit teplota celého okruhu, a tedy i Δm_{ad} .

Změna K v závislosti na čase je zajímavá z toho důvodu, že K ovlivňuje podstatnou vlastností hydraulických mechanismů a tedy u výrobnických strojů i jejich přesnost. Po zjištění závislosti K na čase můžeme určit dobu, po kterou musí stroj před začátkem prace být napřádán, aby pak provozoval zcela přesně, tzn. aby se jeho hodnota K při stálém provozním režimu dala naměřit.

4.3 následující pomocné zpracování výsledků měření

Movitelný připravovat v podstatě slouží ke sjistěvání mezi objemem určitého množství kapaliny a množství na tlaku. Model objemové pružnosti kapaliny je určí sprosrováním měřených hodnot. Používají se různé různých metod i metody jejich sprosrování se základem podstatně liší podle které měření a použitých výhodnocovacích zařízení. V této příloze najdete následující čtyři metody /z nejvyšší obecností/:

- 1/ Odporování se hodnoty tlaku a změny objemu sammensetvuje určené /se zvoleným intervalom tlaku moci jednotlivými měřenými/. Velikost objemového modulu pružnosti pak vypočteme podle měřeného ze vzorců (10), (11), (13) nebo (14).
- 2/ S využitím elektrického snímače tlaku a posudu pístu posloužíme kontinuální napisovač pro získání grafického zápisu měřitosti $V = f(p)$. Tento grafický záznam slouží k představě o chování kapaliny pod vlivem tlaku nebo k přiblížení grafickému určení objemového modulu pružnosti kapaliny.
- 3/ Buďť samosamotné hodnoty /tj. hodnoty z 1. metody/ se sprosrují na positu. Ze souhrnu hodnot je totiž možné vypočítat regresní funkci/e její přesnosti je možné se prosvědčit porovnáním s grafickým záznamem se kontinuálním zapisovačem. Derivaci regresní funkce pak získáme pro tangenciální hodnoty v konstantliv místě křivky v množství na tlaku.
- 4/ S použitím analogo-numerického převodníku je možné elektricky získané hodnoty tlaku a změny objemu přímo sammensetvit v positu posloužit a dle sprosrovat jeho v 3/. Výsledek této sprosrování je, že jsou zde odpočátku zdaleka vysoké množství samosamotné hodnot a jejich děroviny.

5. Závěr

Úhledem práce bylo navrhnout přípravek pro měření objemového modulu pružnosti tak, aby umožňoval rychlé a přesné měření. Ohlédna těchto požadavků vyhovuje použitý princip měření, při kterém je odměrná baňka uzavřena uvnitř tlakové nádoby. Při tomto měření musí totiž tlaková nádoba být ani dokonale tuhá, ani současně barometricky uzavřená, protože ani její deformace, ani tlak tlakové kapaliny v nádobi neovlivní výsledky měření. Tyto okolností dovolují použít k uzavření tlakové nádoby víla s bujnostovým umístěním, které podstatně zjednodušíuje a to znamená i zrychljuje uzavírání a zavírácí nádoby. Další výhodou použitého principu měření je tomu te, že odměrná baňka není závislá na přetlakem. Jenže tato baňka je taky pak možno použít běžně vyráběné aktuálně látky se zabroušeným hrátkem a navíc aktuální nádoba umožňuje zkontrolovat, zda se do vzorku během sběru nedostaly nějakou přiměřenou /nejjedna vzdutkové bublinky/.

Sudímejte jednotlivých veličin /tlak, teplota, posunutí pistu odpovídající zadané objemu/ je provedeno elektrickými animaci, což umožňuje různé formy spracování výsledků měření /přímé čtení a následujícím výpočtem, graficky záznam, přímé spracování na počítači/, jak je podrobnejší uvedeno v kapitole 4.3.

Při měření závislosti K na objemu nezapotřebného vzdutku /toto je rozsah měření omezen maximálnym posunutím pistu. Rozsah měření je však mimo rozdílit, jestliže se místo odměrné baňky o objemu $0,2 \text{ cm}^3$ použije odměrná baňka o objemu $0,1 \text{ cm}^3$ /při stejném posunu pistu může mít kapalina v důsledku nezapoštěného vzdutku částečně změněný objemový modul pružnosti/. Zájem o odměrných baňkách lze provést jist po malé úpravě/jiné stavbě/ šrouby v hadi, delší straně k přenosu posunu pistu z tlakové nádoby k instalaci do zadání posunu/.

Konstrukce přípravku je provedena tak, aby případné obtíže, které se mohou vyskytnout při provozu, se daly snadno odstranit. Za tím účelem jsou některé části přemostitelné /nepřekladi- rům/ výška omezených hradíků lze kompenzovat sníženou polohou funkčního činného prvek v držidle, jiné součásti jsou snadno výslovnitelné.

Objemový modul pružnosti není jediným činitelem, který je charakteristický pro vlastnosti kapalin a snížení těchto vlastností při působení tlaku. Problematika chování kapalin za vlivu tlaku je třeba zkontaktovat s relevantními hlediska. Přesto však objemový modul pružnosti je jednou z nejdůležitějších parametrů popisujících, protože na jeho velikosti je závislá vlastní frekvence a omezení tlakového závaží hydrostatického obvodu a v neposlední řadě také přenosnost prvek celého stroje, který tento hydrostatický obvod využívá. A právě k snadnějším měření tebeto modulu pružnosti má sloužit následující přípravek.

SISTEMY PONÍKACÍ MÍSTNOSTI

- [1] Černý, J.: Hydraulické mechanismy v ohni výrobních strojů.
Liberec, VŠST 1971.
- [2] Chochlov, A.V., Prokofjev, V.B.: Elektroregulační systémy
sloujdajícího stroje.
Moskva, Mekhanstrojedis 1971.
- [3] Prokofjev, J.: Obecné teorie mechanismů, I. díl.
Praha, ŠEP 1971.
- [4] Zelazewski, R.G.: Berechnung und Messung der Kapazität
von Hydraulikflüssigkeiten. "In": Konference
o tektonických mechanismech, Praha 1971.
- [5] Toma, M.: Experimentální vyšetření odporu proti deformaci,
zákon charakteristické objemového modulu
pružnosti hydraulického materiálu, na jeho
hodnocení. /Diplomová práce./
Liberec 1972 - VŠST. Fakulta strojní.
- [6] Močkář, C.: Pružnost a pevnost ve strojníství.
Praha, ŠEP 1971.
- [7] Peterson, R.: Koefficienty koncentraci nepruhnosti.
Moskva, Mekhanstrojedis 1977.
- [8] Černoch, S.: Strojní technická příručka, 13. vyd.
Praha, ŠEP 1977.
- [9] Radcovský, F.: Objemová pružnost impalin.
Hydraulika, 3, 1976, č. 3.
- [10] Kropáček, J.: Průběh tlaku v hydraulických systémech.
Strojírenský výroba, 27, 1979, č. 7

číslo kusu	Popis - Rozměr	Položka	M. kon.	M. vých.	Třída odp.	č. hmoty	Hr. hmoty	č. výkresu	Pos.
1	RÁDODA Ø210-270	ČSN 42 5515.10	12 020.1	002		73,4	1-KOM-OS- -008/01-01	1	
1	VÍKO Ø160-90	ČSN 42 5515.10	12 020.1	002		14,2	2-KOM-OS- -008/01-02	2	
1	PLÁŠŤ	SVARĚNEC	11 343.0	001		11,3	2-KOM-OS- -008/01-03	3	
1	KOLÍK	SVARĚNEC	11 343.0	001		1,9	3-KOM-OS- -008/01-04	4	
1	DNO Ø90-18	ČSN 42 5510.10	11 373.0	001		6,9	4-KOM-OS- -008/01-05	5	
1	PRSTENEC Ø58-12	ČSN 42 5510.10	11 500.0	001		0,25	4-KOM-OS- -008/01-06	6	
1	ZÁTKA Ø48-58	ČSN 42 5510.10	11 500.0	001		0,03	4-KOM-OS- -008/01-07	7	
1	FÍKT Ø22-25	ČSN 42 5510.10	11 500.0	001		0,17	4-KOM-OS- -008/01-08	8	
1	PRÍRUBA 280x6-270	ČSN 42 5524.10	11 500.0	001		3,54	3-KOM-OS- -008/01-09	9	
1	UCHYTKA Ø14-28	ČSN 42 5510.10	11 500.0	001		0,03	4-KOM-OS- -008/01-10	10	
1	LPCJKA Ø20-25	ČSN 42 5510.10	11 500.0	001		0,07	4-KOM-OS- -008/01-11	11	
1	DRŽÁK Ø70-100	ČSN 42 5510.10	11 373.0	001		3,02	3-KOM-OS- -008/01-12	12	
1	VEDENÍ Ø45-50	ČSN 42 5510.10	11 373.0	001		0,63	4-KOM-OS- -008/01-13	13	
1	PRUŽINA Ø0,71-1130	ČSN 42 6710.31		002		0,003	4-KOM-OS- -008/01-14	14	
2	FÍKT Ø12-162	ČSN 42 6510.10	11 500.0	001		0,15	4-KOM-OS- -008/01-15	15	
1	TRUBKA Ø8x1,5-10	ČSN 42 6710.31	11 353.0	001		0,01	5-KOM-OS- -008/01-16	16	
1	TRUNA Ø1-140	ČSN 42 6410.21	11 300.0	001		0,001	5-KOM-OS- -008/01-17	17	
1	KRÁZKA Ø2-55	ČSN 42 6410.31	11 343.0	001		0,001	5-KOM-OS- -008/01-20	20	
3	NÝT Ø4x6	ČSN 02 2301.21			0,0007	0,001	5-KOM-OS- -008/01-21	21	
3	KOLÍK Ø3x8	ČSN 02 2150.2			0,0004			22	
3	ŠROUB M4x10	ČSN 02 1185.20			0,0007			23	
2	ŠROUB M3x5	ČSN 02 1185.20			0,0002			24	
4	ŠROUB M4x10	ČSN 02 1101.12			0,001			25	
4	PODLOŽKA 4,3	ČSN 02 1702.1			0,0003			26	
6	ŠROUB M4x10	ČSN 02 1151.10			0,0009			27	

Máliček

1:1

VŠST
LIBEREC

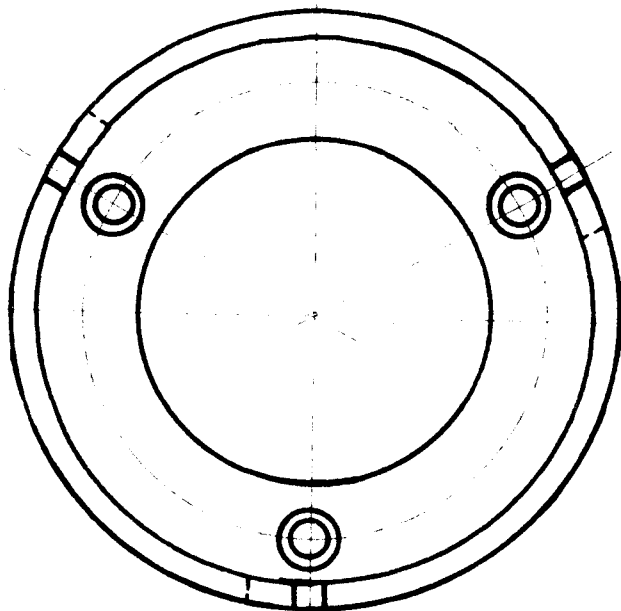
PŘÍPRAVEK

1-KOM-OS-008/01

6,3 ✓ / 1,6 ✓

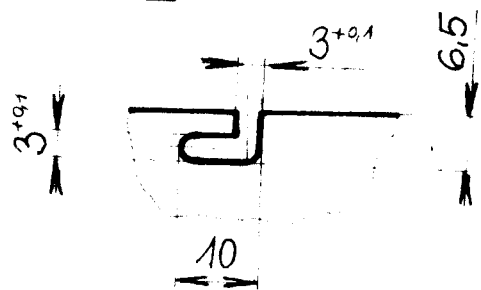
3

∅60



P

POHLED P



11 343.0 ————— 001

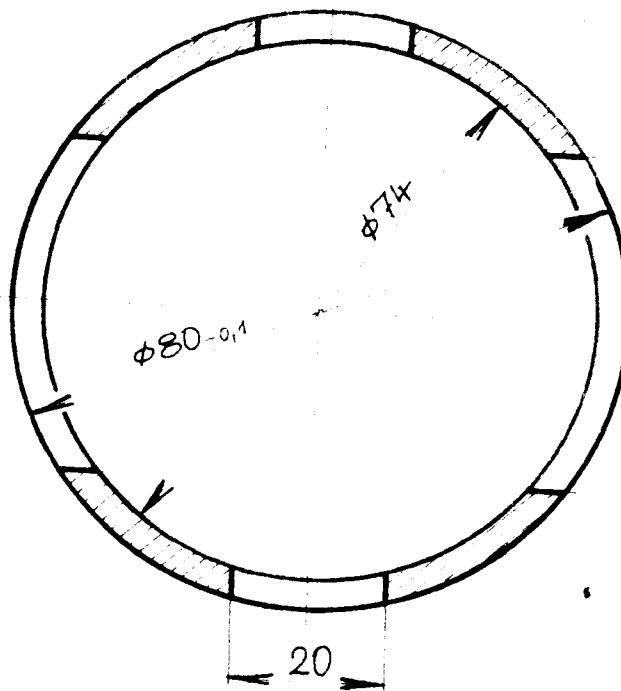
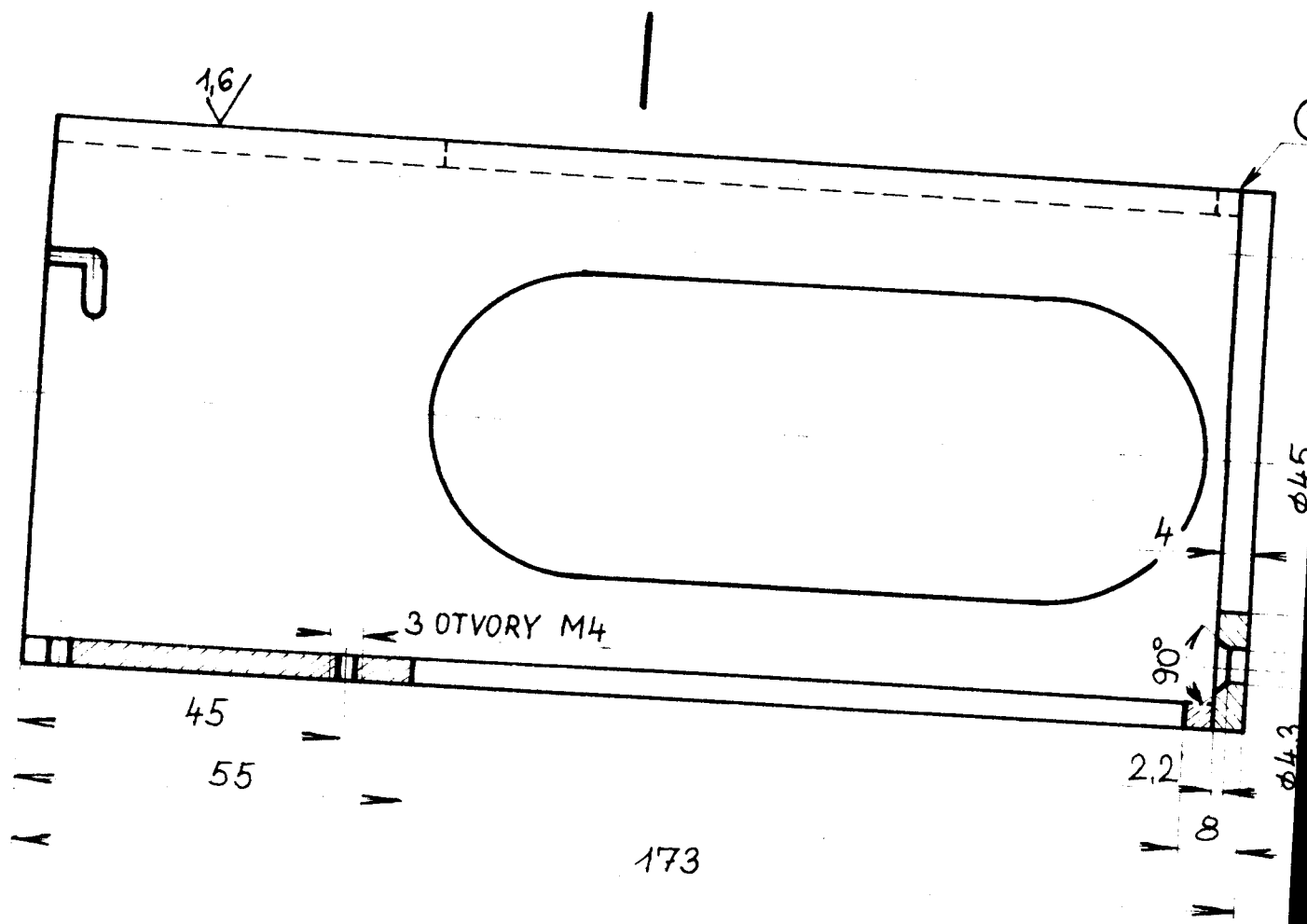
1,9 4-KOM-OS-008/01 4

Milivoj -

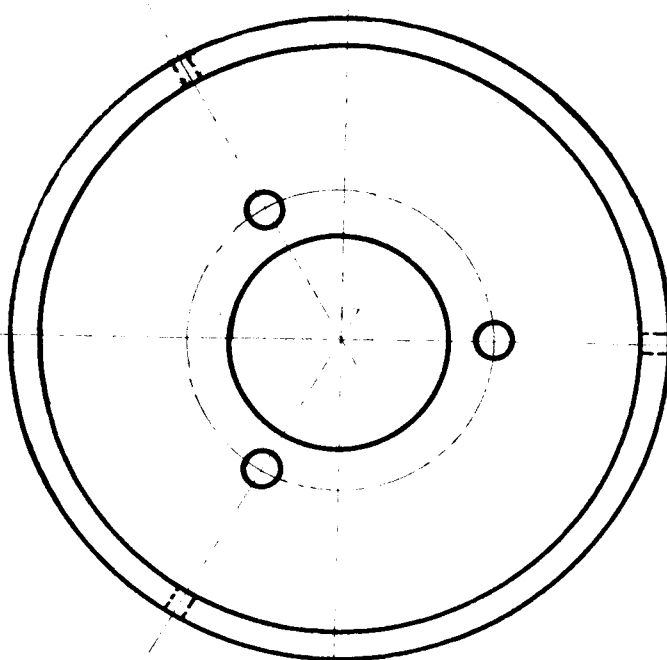
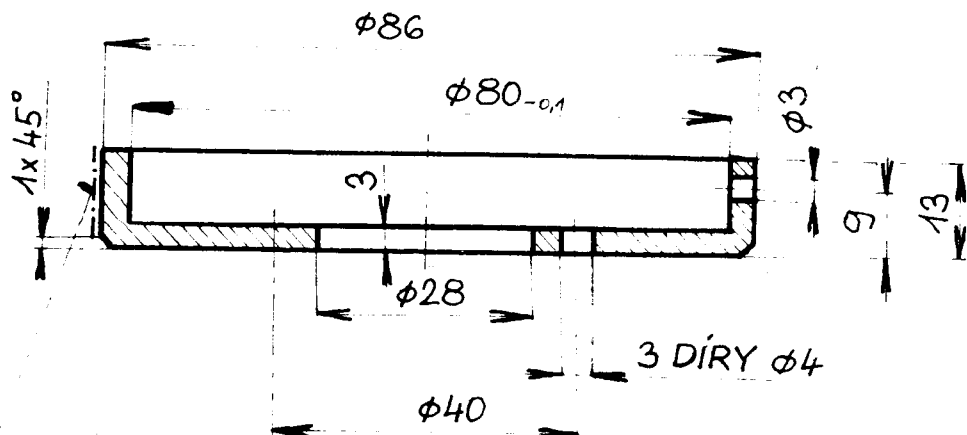
1:1

KOŠ

3-KOM-OS-008/01-04



6,3 ✓ / 1,6 ✓



- φ90 - 18 ČSN 425510.10 11 373.0 001 0,9 1-KOM-OS-008/01 5

Hilfslager

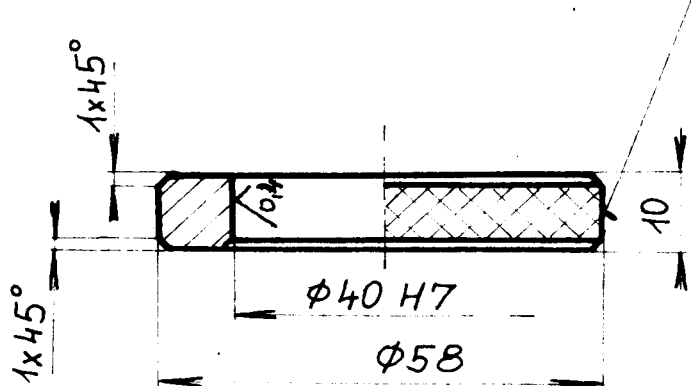
1:1

DNO

4-KOM-OS-008/01-05

6,3 ✓ / 0,4 ✓ /

VROUBKOVÁNÍ 0,8 ČSN 014932



- $\phi 58 - 12$ ČSN 42 5510.1 11 500.0 — 001 0,248 4-KOM-OS-008/01 6

Milithy

1:1

VŠST

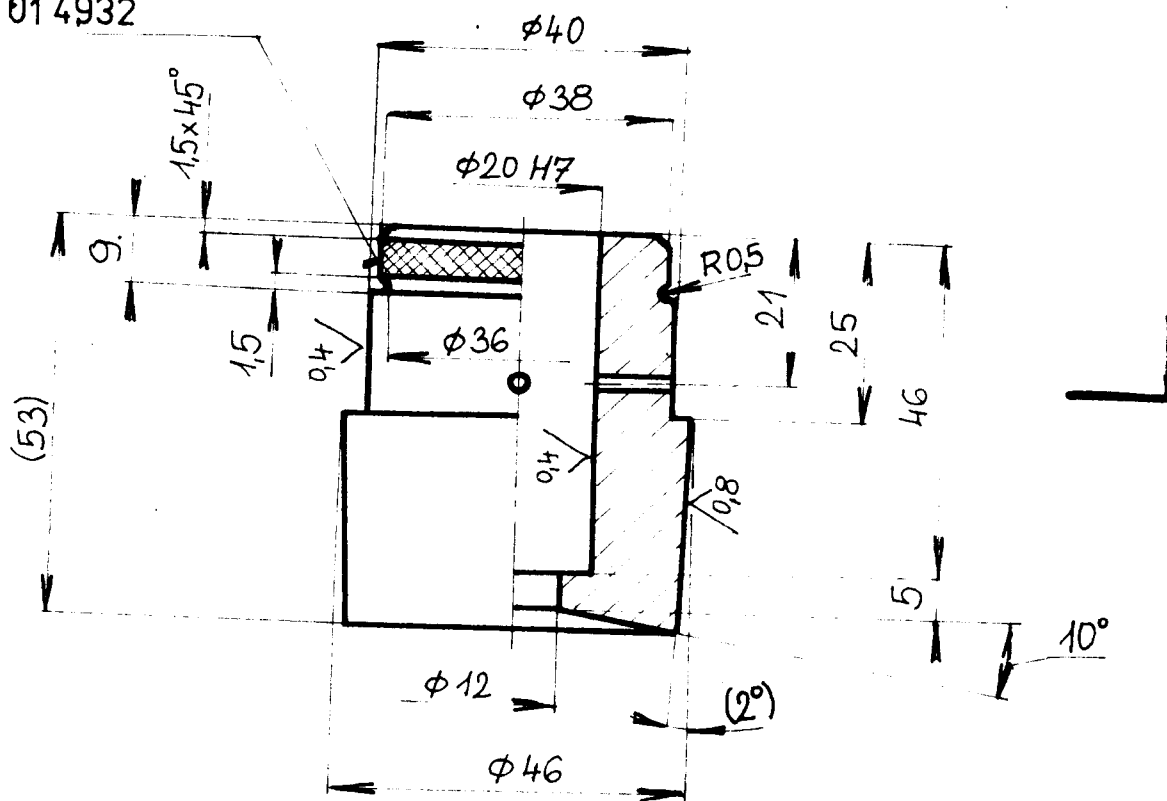
LIBEREC

PRSTENEC

4-KOM-OS-008/01-06

VROUBKOVÁNÍ 0,8
ČSN 01 4932

6,3 ✓ / 0,8 ✓, 0,4 ✓



KUŽEL ZABROUSIT DLE OTVORU V HRDLE BAŇKY

- $\phi 48 - 55$ ČSN 425510.1 115000 — 001 0,833 1-KOM-OS-008/01 7

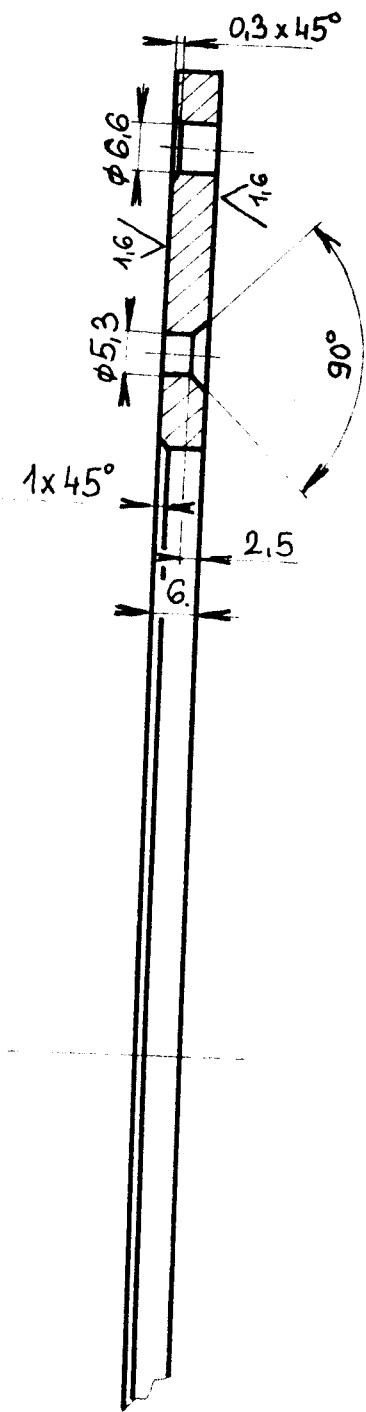
Milíšek

1:1

VŠST
LIBEREC

ZÁTKA

4-KOM-OS-008/01-07



6,3 ✓ / 1,6 ✓ /

- 280x6 - 270 ČSN 42 55241 11 500.0 — 001 3,54 4-KOM-OS-008/01 9

Měřily:

1:1

PŘÍRUBA

3-KOM-OS-008/01-09

$\phi 185 \pm 0,1$

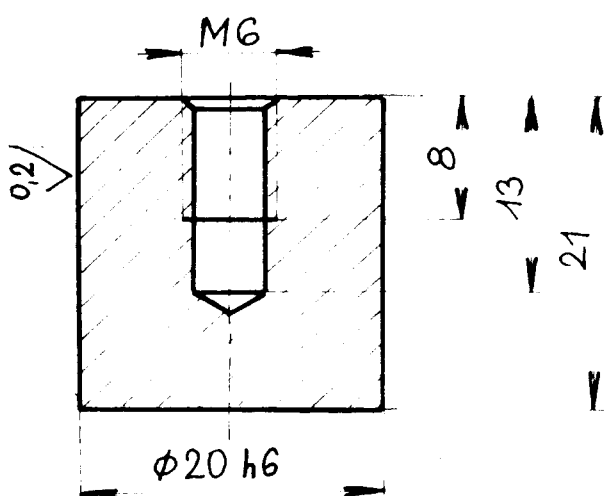
A technical drawing showing two concentric circles. There are four holes: one at the top, one at the bottom, and two on the right side. The inner circle has a diameter of $\phi 185 \pm 0,1$.

$\phi 162$

$\phi 240 \pm 0,2$

$\phi 262$

1,6 ✓ / 0,2 ✓ //



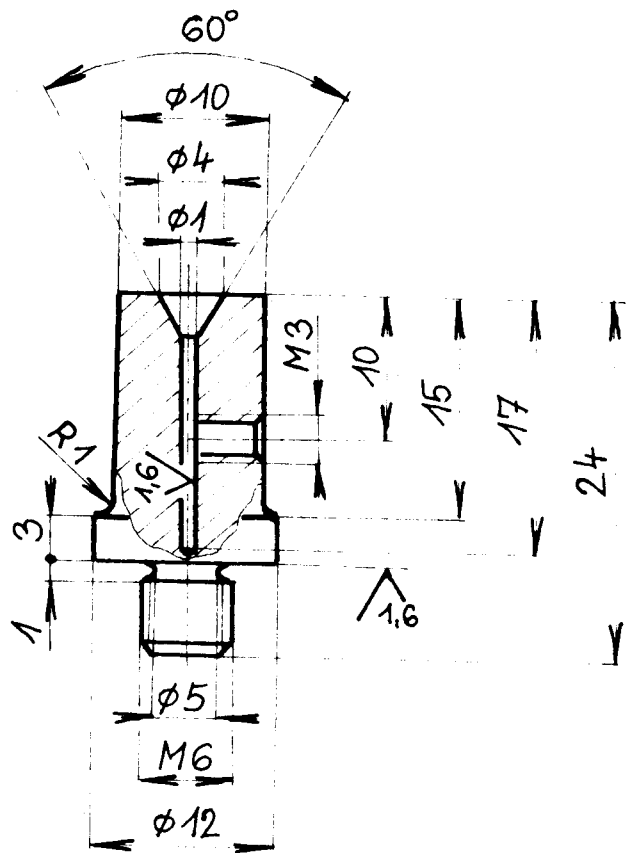
- φ 22 - 25 ČSN 42 5510.10 11 500.0 ————— 001 0,07 4-KOM-OS-008/01 8

2:1
Milíček-

PÍST

4-KOM-OS-008/01-08

6,3 ✓ / 1,6 ✓



- $\phi 14 - 28$

ČSN 42 5510.10 11 500.0

001

0,03 4-KOM-OS-008/01 10

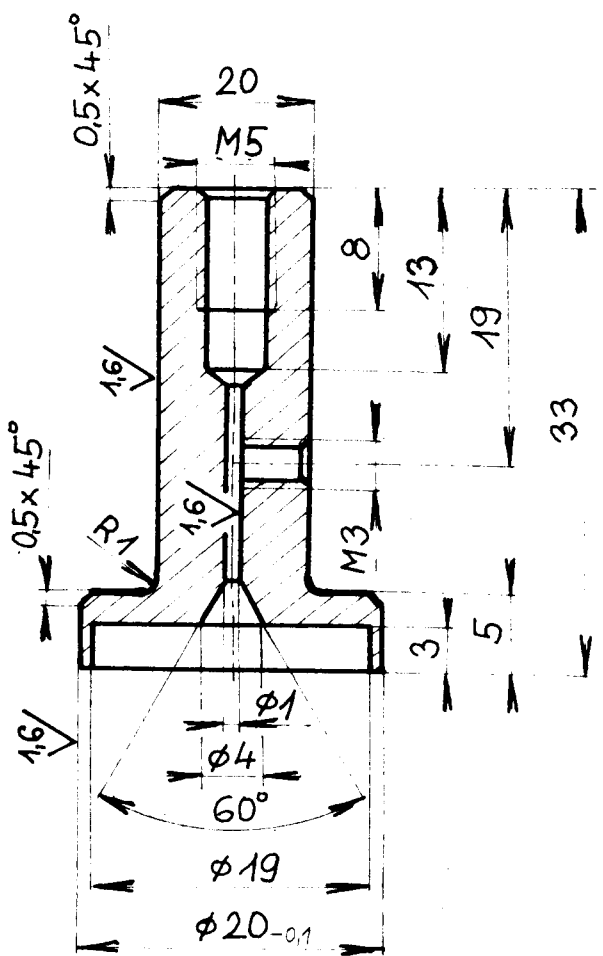
Milíček

2:1

ÚCHYTKA

4-KOM-OS-008/01-10

6,3 ✓ / 1,6 ✓



- φ20-35

ČSN 42 5510.10 11 500.0

001

0,07 1-KOM-OS-008/01 11

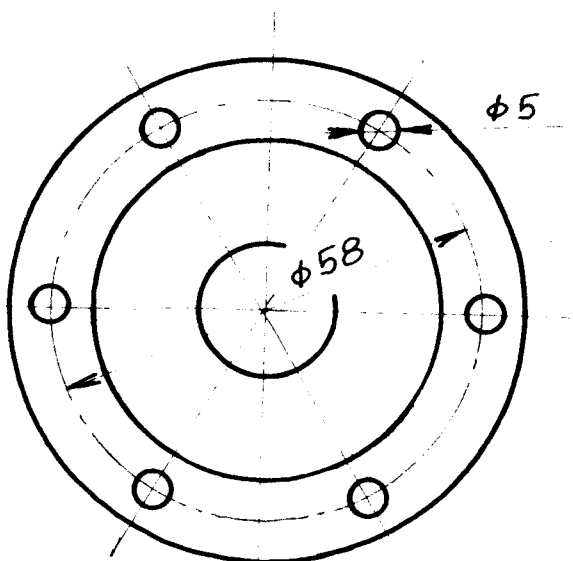
Milímetry

2:1

SPOJKA

4-KOM-OS-008/01-11

6,3 | 1,6 |



$\phi 70-112$

ČSN 42 5510 11 500.1

001

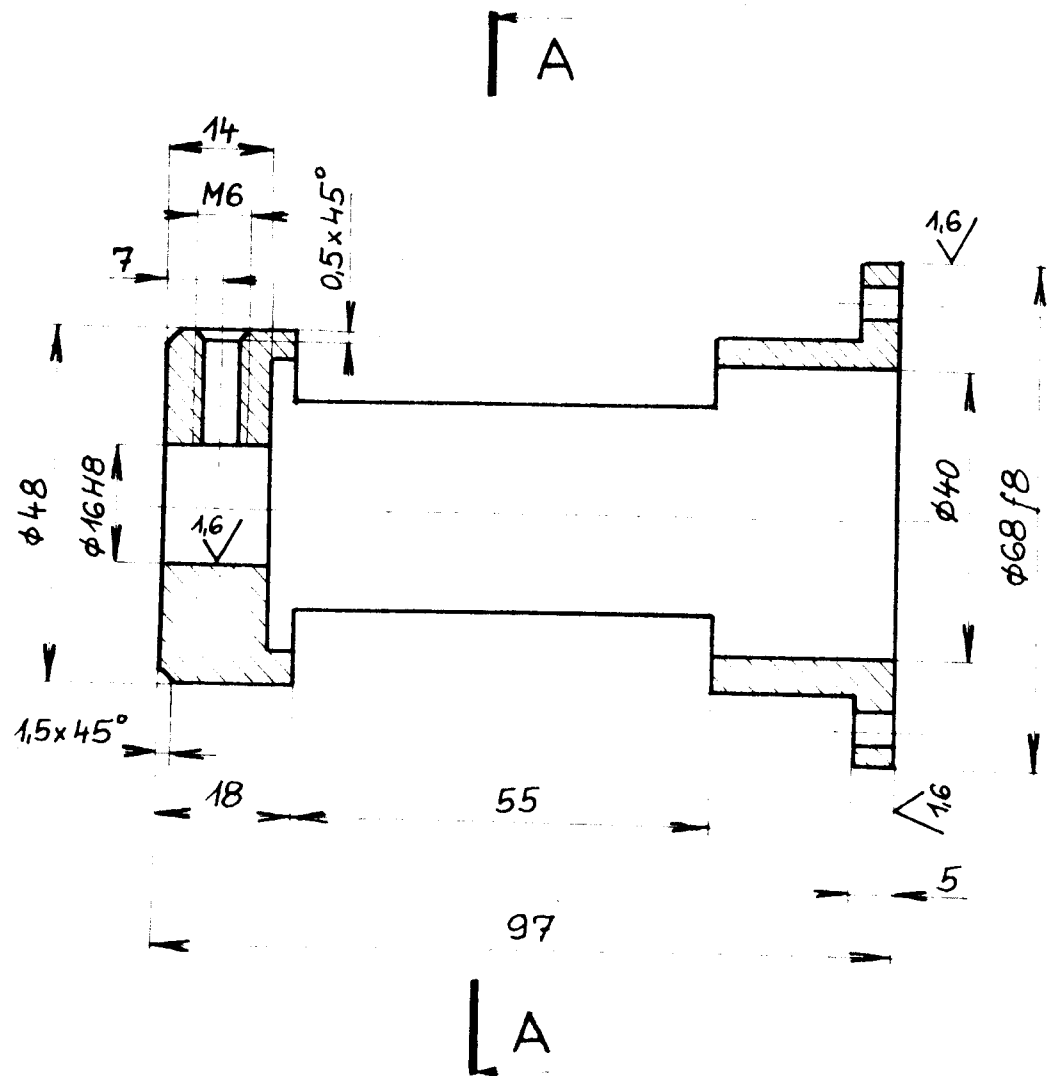
3,02 1-KOM-OS-008/01 12

Milíky

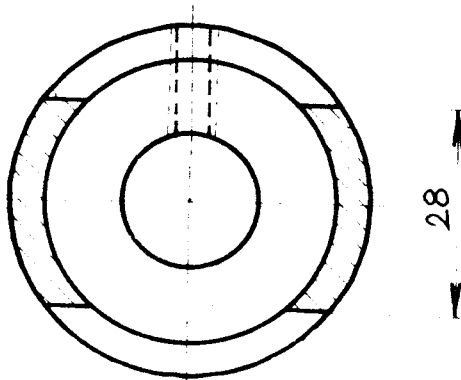
1:1

DRŽÁK

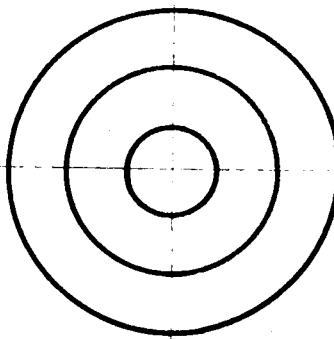
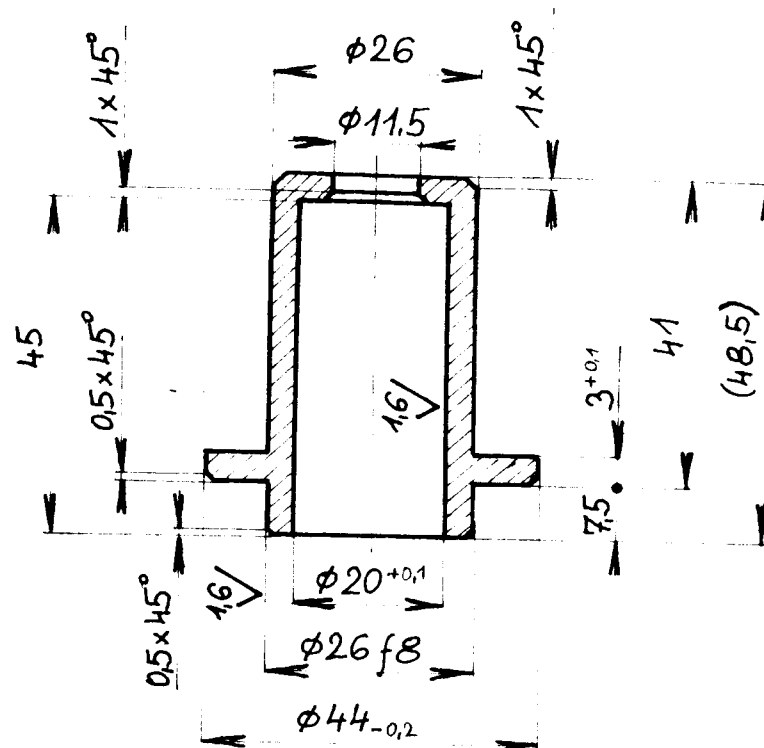
3-KOM-OS-008/01-12



REZ A-A



3.2 ✓ / 1.6 ✓ /



- $\phi 45 - 50$

ČSN 42 5510.0 11 500.1

001

0,63 1-KOM-OS-008/01 13

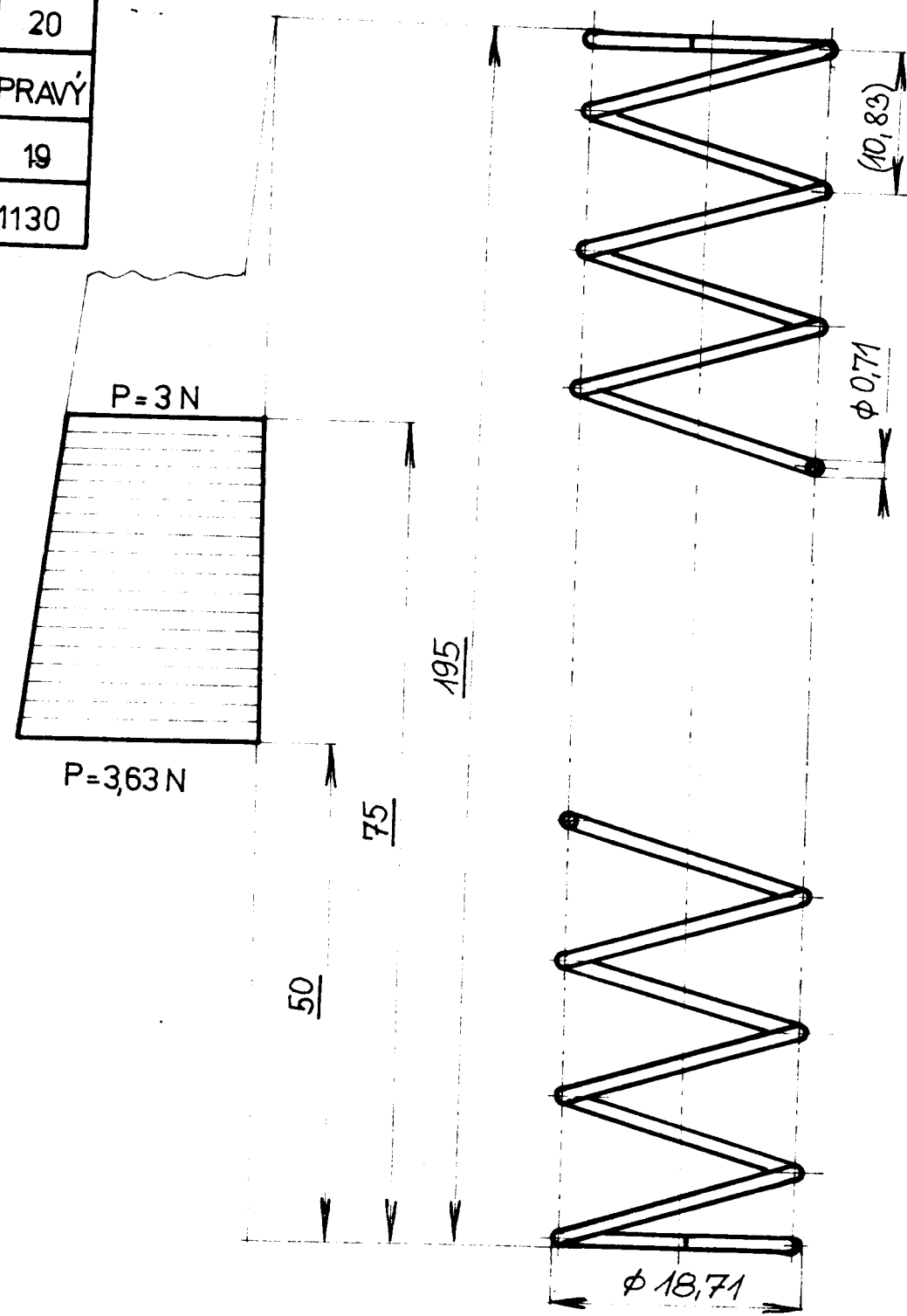
Milíček

1:1

VEDENÍ

4-KOM-OS-008/01-13

POČET ČINNÝCH ZÁVITŮ	18
CELKOVÝ POČET ZÁV.	20
SMYSL VINUTÍ	PRAVÝ
PRŮMĚR PRAC. DUTINY	19
ROZVINUTÁ DÉLKA	1130



- $\phi 71 - 1130$ ČSN 426450,30 ————— 002 0,0032 4-KOM-OS-008/01 14

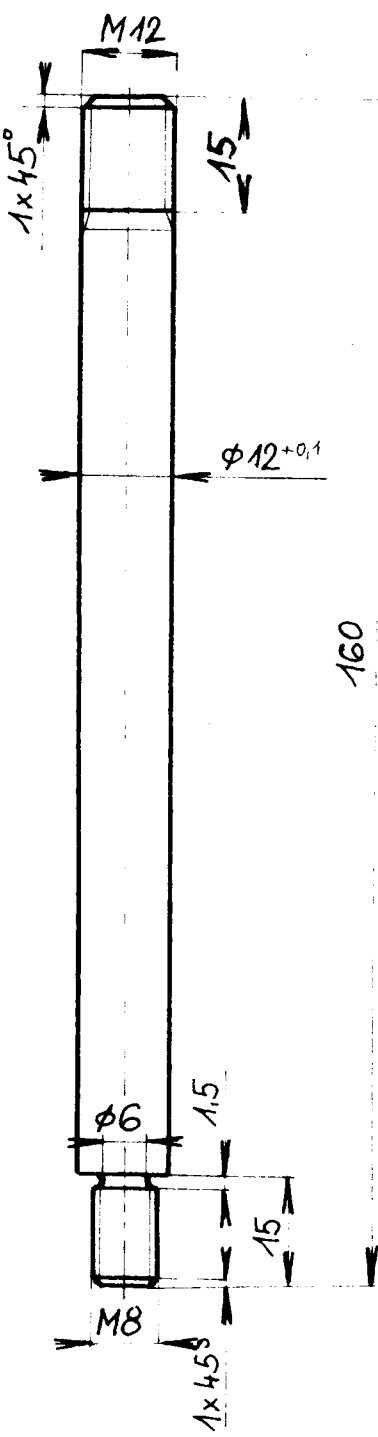
2:1
Milík

VŠST
LIBEREC

PRUŽINA

4-KOM-OS-008/01-14

3,2 ✓



- $\phi 12 - 162$ ČSN 42 6510.10 11 500.0 — 001 0,15 1-KOM-OS-008/01 15

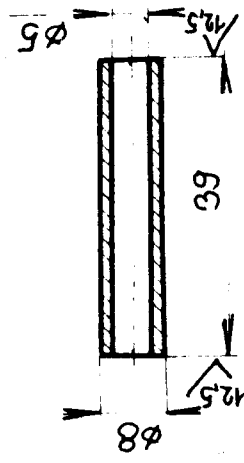
Milíček

1:1

PÁKA

4-KOM-OS-008/01-15

N /12,5//



- TRUBKA $\phi 8 \times 1,5 - 40$ ČSN 42 6740 31 41 353.0 — 004 0,0096 4-KOM-OS-008/01-16

Miloslav

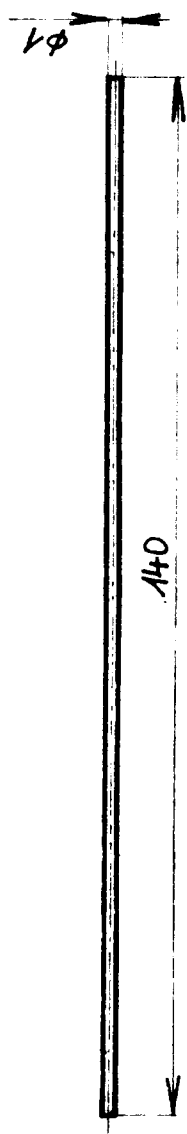
1:1

VŠST
LIBEREC

TRUBKA

5-KOM-OS-008/01-16

04



- $\phi 1 - 140$ ČSN 42 6410.2 11 300.0 — 001 0,001 1-KOM-OS-004417

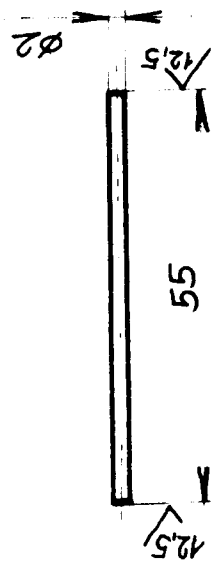
Miloslav

1:1

VŠST
LIBEREC

5-KOM-OS-0008/01-17

$\sim / \sqrt{12,5} //$



- $\phi 2 - 55$ ČSN 42 6410.3 11 343.0 — 001 0,00144 1-KOM-OS-008/01 20

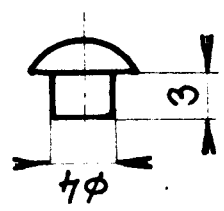
H. L. K.

1:1

VŠST
LIBEREC

ZARÁŽKA

5-KOM-OS-008/01-20



- NÝT $\phi 4 \times 6$ ČSN 02 2301.2 — — — 001 0,00074-KOM-OS-008/01-21

M. K. H. J.

1:1

VŠST
LIBEREC

NÝT

5-KOM-OS-008/01-21